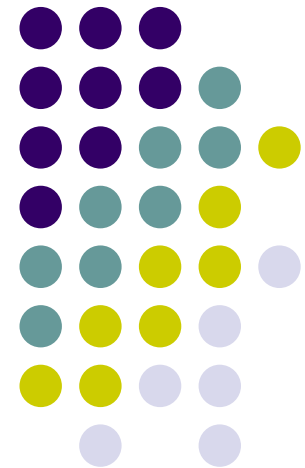


Dizajn sustava

Obrada informacija

Damir Seršić

<http://www.fer.hr/predmet/obrinfa>





Teme predavanja

- Periodična i cirkularna konvolucija
- Brza konvolucija
- Projektiranje i primjena filtara u frekvencijskoj domeni
- Projektiranje FIR filtara
 - metoda vremenskih otvora
 - optimizacija
 - projekcijska metoda

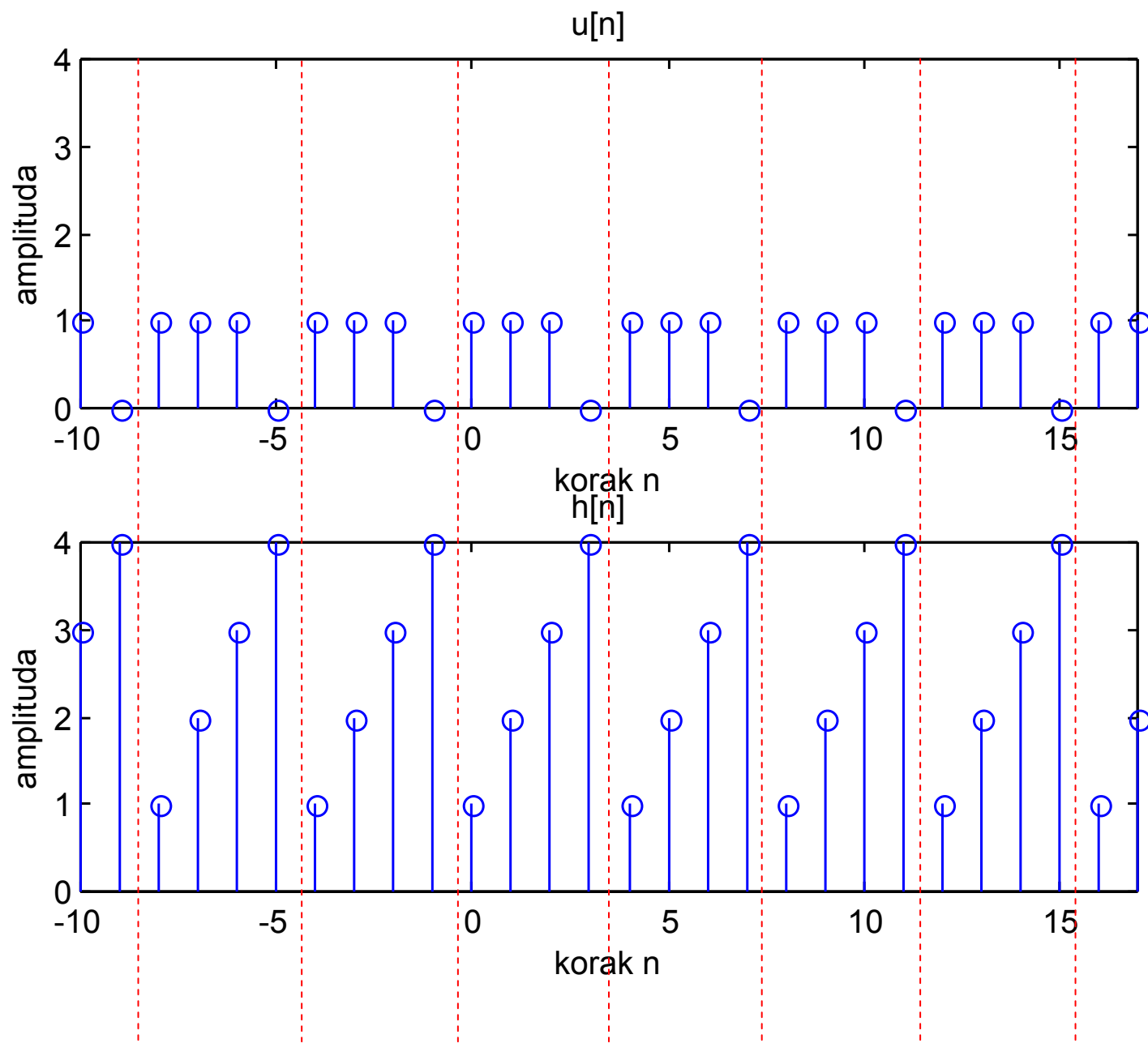
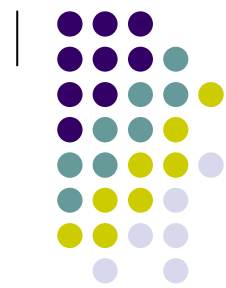
Konvolucija periodičnih signala



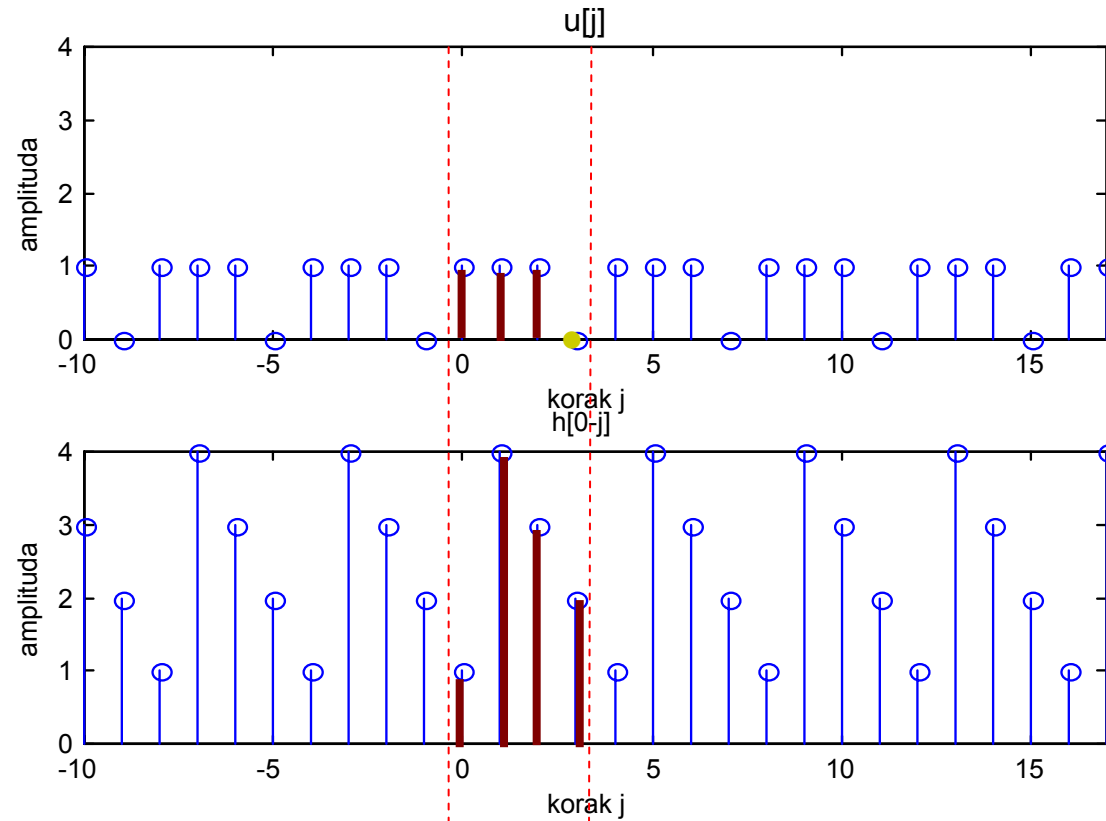
- Za periodične nizove $u_N[n]$ i $h_N[n]$ periode N definiramo **periodičnu konvoluciju**:

$$y_N[n] = \sum_{j=0}^{N-1} u_N[j] h_N[n-j]$$

- Kod periodične konvolucije imamo konačnu sumu od N pribrojnika.
- Rezultat je opet periodičan s periodom N .
- Slijedi primjer dva niza u i h , perioda $N = 4$.



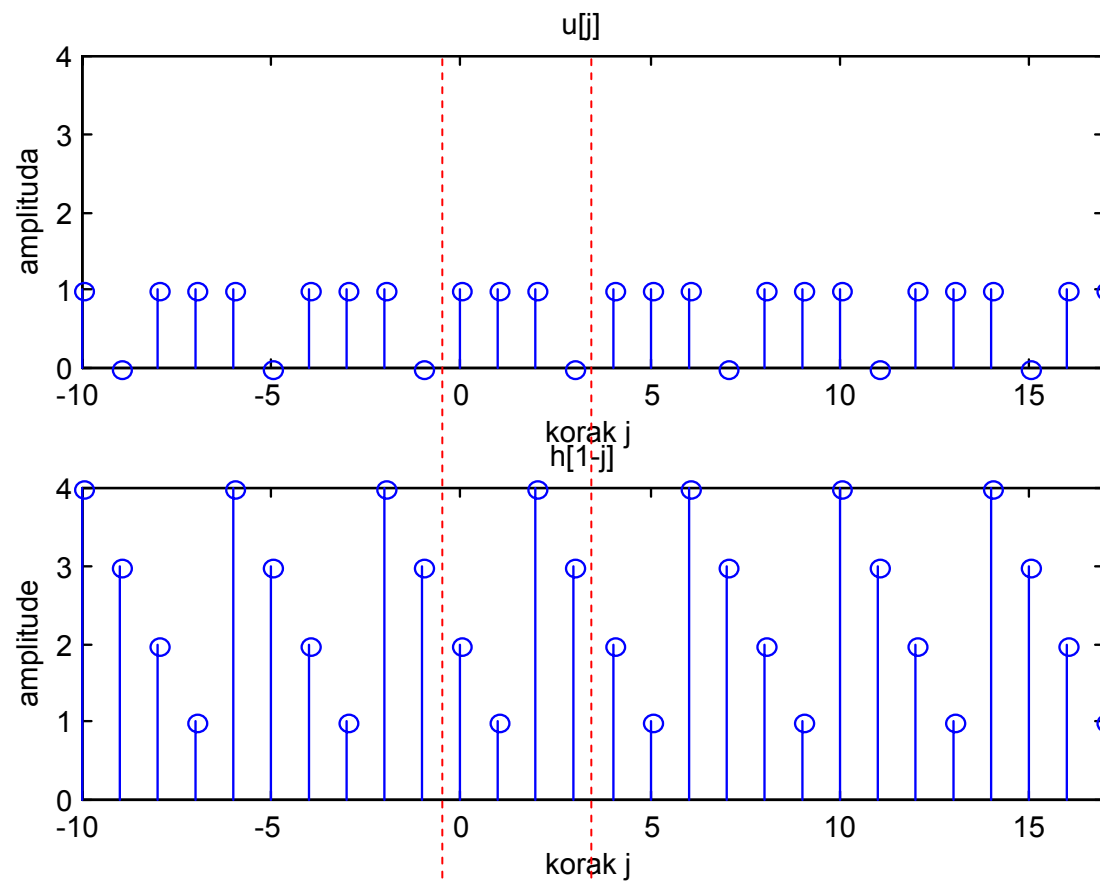
Primjer, N=4, n=0



$$y[0] = \sum_{j=0}^3 u[j] \cdot h[0-j] = 1 \cdot 1 + 1 \cdot 4 + 1 \cdot 3 + 0 \cdot 2 = 8$$

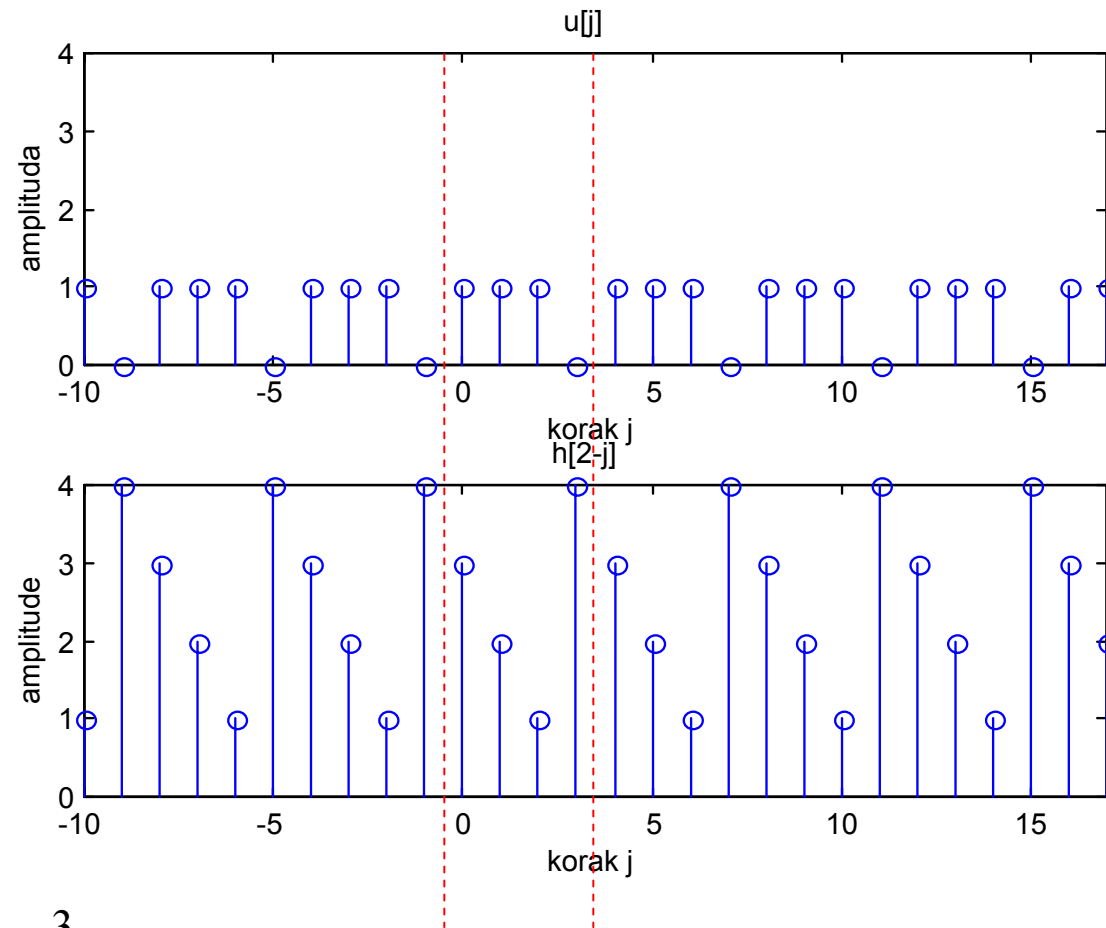


Primjer, N=4, n=1



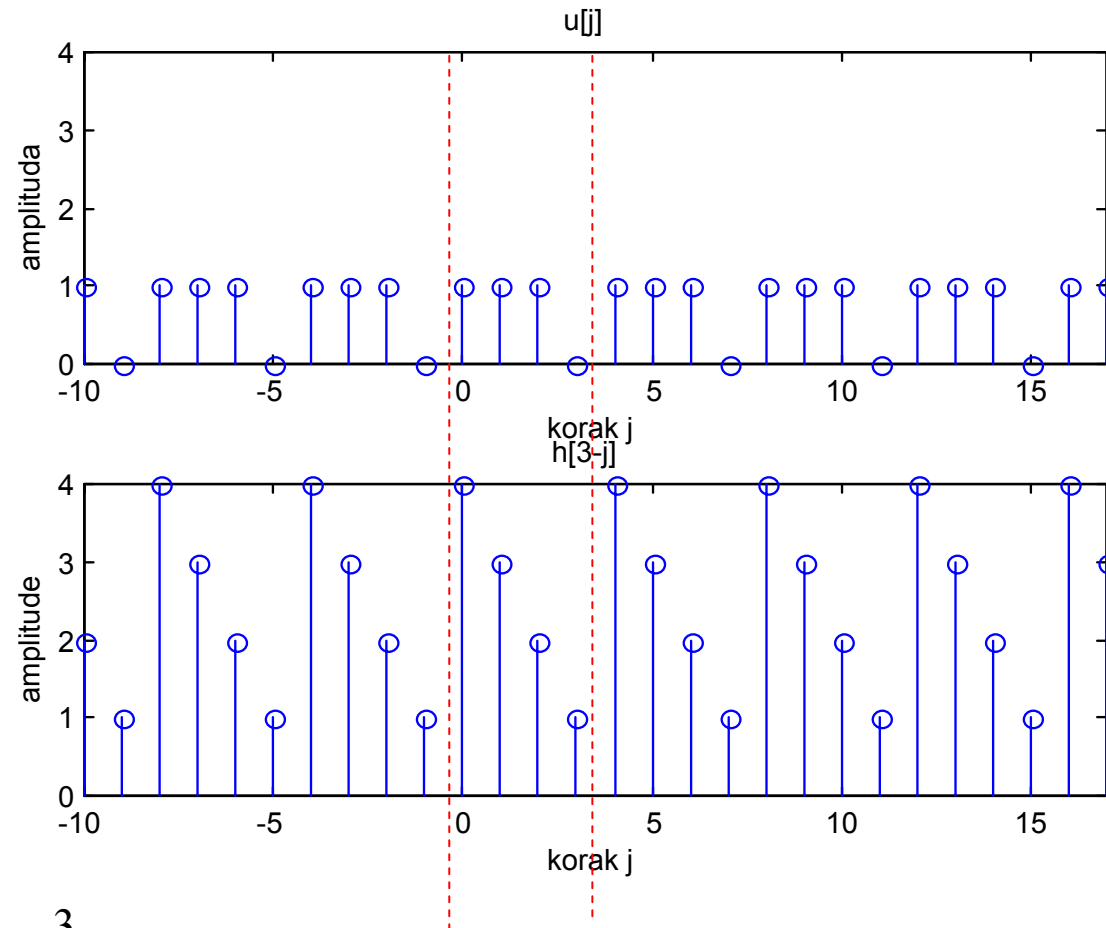
$$y[1] = \sum_{j=0}^3 u[j] \cdot h[1-j] = 1 \cdot 2 + 1 \cdot 1 + 1 \cdot 4 + 0 \cdot 3 = 7$$

Primjer, N=4, n=2



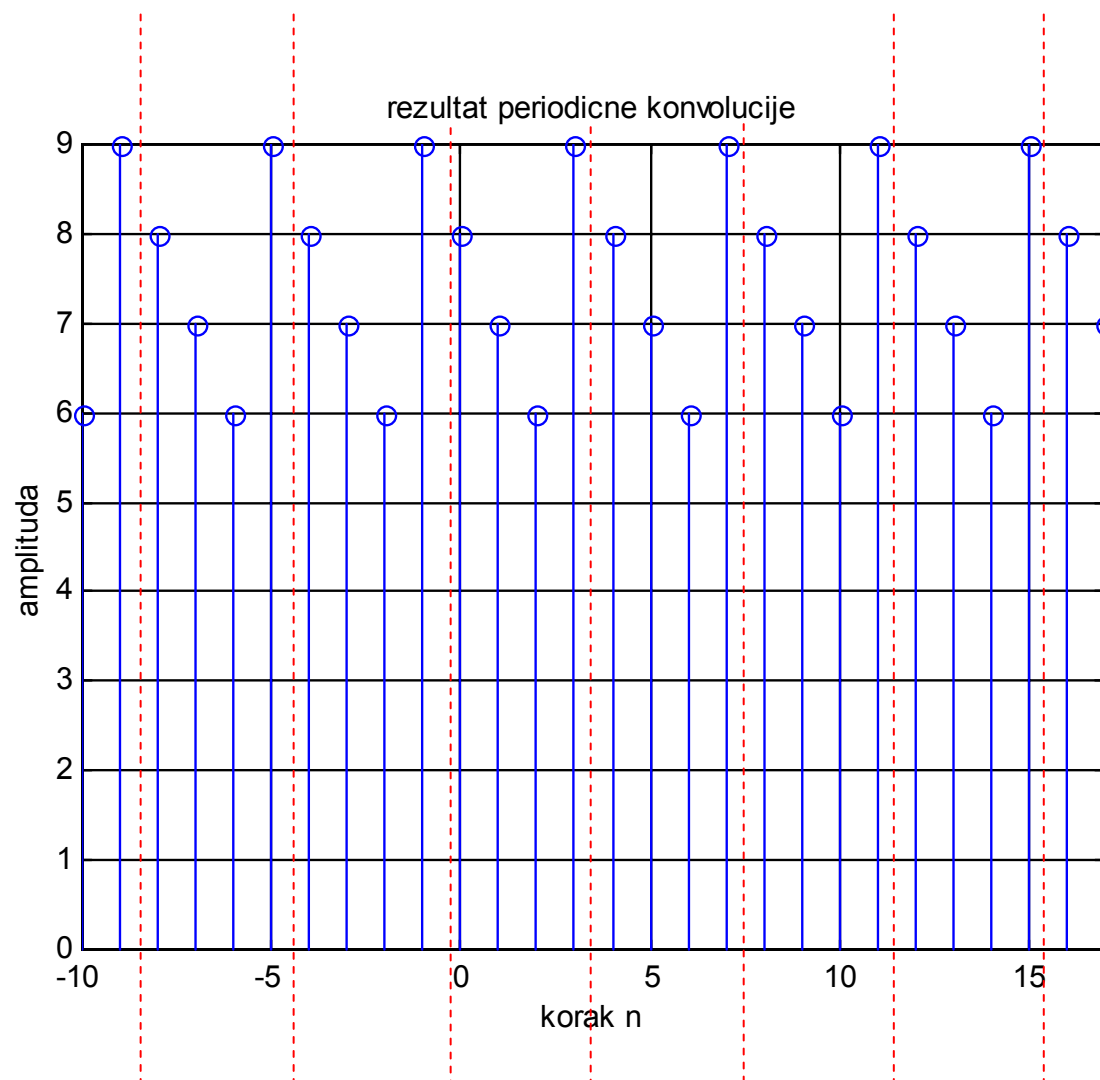
$$y[2] = \sum_{j=0}^3 u[j] \cdot h[2-j] = 1 \cdot 3 + 1 \cdot 2 + 1 \cdot 1 + 0 \cdot 4 = 6$$

Primjer, N=4, n=3



$$y[3] = \sum_{j=0}^3 u[j] \cdot h[3-j] = 1 \cdot 4 + 1 \cdot 3 + 1 \cdot 2 + 0 \cdot 1 = 9_8$$

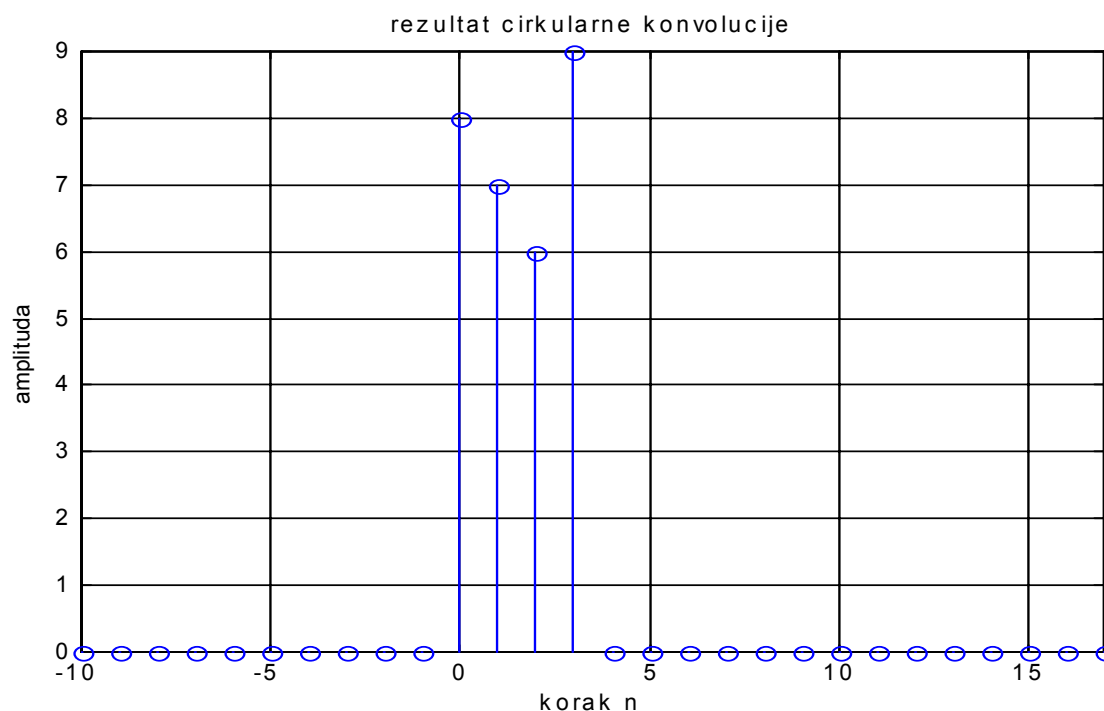
Periodična konvolucija, rezultat primjera





Cirkularna konvolucija

- Cirkularnom ili kružnom konvolucijom nazivamo jednu periodu periodične konvolucije.
- U našem primjeru:



Matrična reprezentacija cirkularne konvolucije



- Za naš primjer ($N = 4$) pišemo jednačbe za cirkularnu konvoluciju.
- Uz $h(-1)=h(3)$, $h(-2)=h(2)$ i $h(-3)=h(1)$ imamo:

$$y(0) = u(0)h(0) + u(1)h(3) + u(2)h(2) + u(3)h(1)$$

$$y(1) = u(0)h(1) + u(1)h(0) + u(2)h(3) + u(3)h(2)$$

$$y(2) = u(0)h(2) + u(1)h(1) + u(2)h(0) + u(3)h(3)$$

$$y(3) = u(0)h(3) + u(1)h(2) + u(2)h(1) + u(3)h(0)$$

$$y(n) = \sum_{j=0}^{N-1} u(j) \cdot h(\text{mod}[n - j])$$

Matrična reprezentacija cirkularne konvolucije



- Uz nešto kompaktniji zapis imamo:

$$y_n = \sum_{k=0}^{N-1} h_{\text{mod}(n-k)} \cdot u_k$$

$$\mathbf{y}_N = \begin{bmatrix} y_0 \\ y_1 \\ y_2 \\ y_3 \end{bmatrix} = \begin{bmatrix} h_0 & h_3 & h_2 & h_1 \\ h_1 & h_0 & h_3 & h_2 \\ h_2 & h_1 & h_0 & h_3 \\ h_3 & h_2 & h_1 & h_0 \end{bmatrix} \cdot \begin{bmatrix} u_0 \\ u_1 \\ u_2 \\ u_3 \end{bmatrix} = \mathbf{H}_{NN} \cdot \mathbf{u}_N$$

Matrična reprezentacija cirkularne konvolucije



$$\mathbf{H}_{NN} = \begin{bmatrix} h_0 & h_3 & h_2 & h_1 \\ h_1 & h_0 & h_3 & h_2 \\ h_2 & h_1 & h_0 & h_3 \\ h_3 & h_2 & h_1 & h_0 \end{bmatrix}$$

- Matrica \mathbf{H}_{NN} je **cirkulantna**: svaki njezin redak nastaje pomicanjem prethodnog udesno uz premotavanje na rubovima.
- Takve matrice imaju mnoga dobra svojstva, a jedno od njih je posebna veza s DFT.

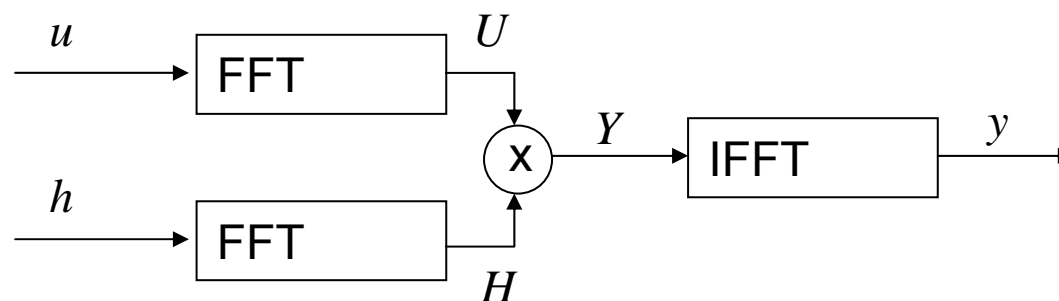


Brza cirkularna konvolucija

- Direktna primjena traži N^2 množenja i $N(N-1)$ zbrajanja.
- Spektar diskretnih **periodičnih** signala h i u možemo izračunati korištenjem FFT algoritma uz (dvaput po) **$N \log_2 N$ operacija**.
- **Periodična konvolucija** u spektralnoj domeni odgovara običnom **množenju** (N operacija).
- Odziv dobivamo kao IFFT ($N \log_2 N$ operacija).
- Za veće N imamo **značajnu uštedu!**



Brza cirkularna konvolucija



N	Broj množenja: direktno	Broj množenja: FFT
32	1.024	512
1024	1.048.576	31.744
65536	4.294.967.296	3.211.264

- Ako se impulsni odziv sustava h ne mijenja, onda se $H = \text{FFT}(h)$ izračuna samo jednom, pa je efektivni broj operacija za svaki u još manji. ¹⁵

Brza konvolucija signala konačnog trajanja



- Sve do sada rečeno odnosilo se na periodične signale i za sustave s periodičnim impulsnim odzivom.
- U praksi se puno češće srećemo sa signalima konačnog trajanja, te sustavima s konačnim impulsnim odzivom (FIR).
- Možemo li ideju brze konvolucije (tj. efikasne realizacije filtera u frekvencijskoj domeni) iskoristiti i za takve signale?

Ekvivalencija linearne i cirkularne konvolucije



- Pitanje je kada ova dva izraza mogu dati isti rezultat?

$$y_n = \sum_k h_{n-k} \cdot u_k \qquad y_n = \sum_{k=0}^{N-1} h_{\text{mod}(n-k)} \cdot u_k$$

- Cirkularna konvolucija se od linearne razlikuje po periodičkom premotavanju uzoraka: $\text{mod}(n-k)$.
- Ako **nadopunimo** signal i impulsni odziv **nulama**, premotavanje neće imati utjecaja!



Primjer

- Uzmimo konačne signale tako da uzmemo jednu periodu signala iz prethodnog primjera
 - $u = \{1, 1, 1, 0\}$.
 - $h = \{1, 2, 3, 4\}$,
- Direktno izračunata cirkularna konvolucija se razlikuje od linearne.
- Nadopunimo ih s (najmanje) 3 nule:
 - $u = \{1, 1, 1, 0, 0, 0, 0\}$.
 - $h = \{1, 2, 3, 4, 0, 0, 0\}$,
- i izračunajmo periodičku konvoluciju!

Primjer: linearna pomoću cirkularne konvolucije



$$u[j] = [1 \ 1 \ 1 \ 0 \ 0 \ 0 \ 0 \ 0];$$

Zbog nadopunjavanja nulama, premotani uzorci nisu utjecali na rezultat.

$$h[0-j] = [1 \ 0 \ 0 \ 0 \ 0 \ 4 \ 3 \ 2];$$

$$\Rightarrow y[0] = 1$$

$$h[1-j] = [2 \ 1 \ 0 \ 0 \ 0 \ 0 \ 4 \ 3];$$

$$\Rightarrow y[1] = 3$$

$$h[2-j] = [3 \ 2 \ 1 \ 0 \ 0 \ 0 \ 0 \ 4];$$

$$\Rightarrow y[2] = 6$$

$$h[3-j] = [4 \ 3 \ 2 \ 1 \ 0 \ 0 \ 0 \ 0];$$

$$\Rightarrow y[3] = 9$$

$$h[4-j] = [0 \ 4 \ 3 \ 2 \ 1 \ 0 \ 0 \ 0];$$

$$\Rightarrow y[4] = 7$$

$$h[5-j] = [0 \ 0 \ 4 \ 3 \ 2 \ 1 \ 0 \ 0];$$

$$\Rightarrow y[5] = 4$$

$$h[6-j] = [0 \ 0 \ 0 \ 4 \ 3 \ 2 \ 1 \ 0];$$

$$\Rightarrow y[6] = 0$$

$$h[7-j] = [0 \ 0 \ 0 \ 0 \ 4 \ 3 \ 2 \ 1];$$

$$\Rightarrow y[7] = 0$$

Primjer 2: linearna pomoću cirkularne konvolucije



- Uz $h_0, h_1, u_0, u_1, u_2 \neq 0$ te proširenje nulama do $N=4$ imamo isto rješenje $y = y_N$:

$$\mathbf{y} = \begin{bmatrix} y_0 \\ y_1 \\ y_2 \\ y_3 \end{bmatrix} = \begin{bmatrix} h_0 & 0 & 0 & 0 \\ h_1 & h_0 & 0 & 0 \\ 0 & h_1 & h_0 & 0 \\ 0 & 0 & h_1 & h_0 \end{bmatrix} \cdot \begin{bmatrix} u_0 \\ u_1 \\ u_2 \\ 0 \end{bmatrix} = \mathbf{H} \cdot \mathbf{u}$$
$$\mathbf{y}_N = \begin{bmatrix} y_0 \\ y_1 \\ y_2 \\ y_3 \end{bmatrix} = \begin{bmatrix} h_0 & 0 & 0 & h_1 \\ h_1 & h_0 & 0 & 0 \\ 0 & h_1 & h_0 & 0 \\ 0 & 0 & h_1 & h_0 \end{bmatrix} \cdot \begin{bmatrix} u_0 \\ u_1 \\ u_2 \\ 0 \end{bmatrix} = \mathbf{H}_{NN} \cdot \mathbf{u}_N$$

Primjer 2: linearna pomoću cirkularne konvolucije



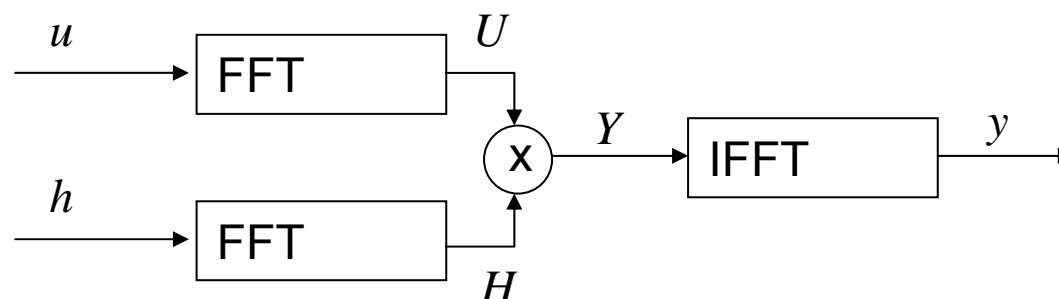
$$\mathbf{y}_N = \begin{bmatrix} y_0 \\ y_1 \\ y_2 \\ y_3 \end{bmatrix} = \begin{bmatrix} h_0 & 0 & 0 & h_1 \\ h_1 & h_0 & 0 & 0 \\ 0 & h_1 & h_0 & 0 \\ 0 & 0 & h_1 & h_0 \end{bmatrix} \cdot \begin{bmatrix} u_0 \\ u_1 \\ u_2 \\ 0 \end{bmatrix} = \mathbf{H}_{NN} \cdot \mathbf{u}_N$$

- U domeni diskretne Fourierove transformacije, množenje cirkulantnom matricom se svodi na N skalarnih množenja:

$$Y_k = H_k \cdot U_k, \quad k = 0, \dots, N-1$$



Zaključci



- Cirkularna se konvolucija može efikasno realizirati FFT algoritmom.
- Usprkos produžavanju nulama, za veće N implementacija filtara u frekvencijskoj domeni daje značajnu uštedu računskih operacija!
- Nedostatak: rezultat se izračunava u bloku, a ne korak po korak!



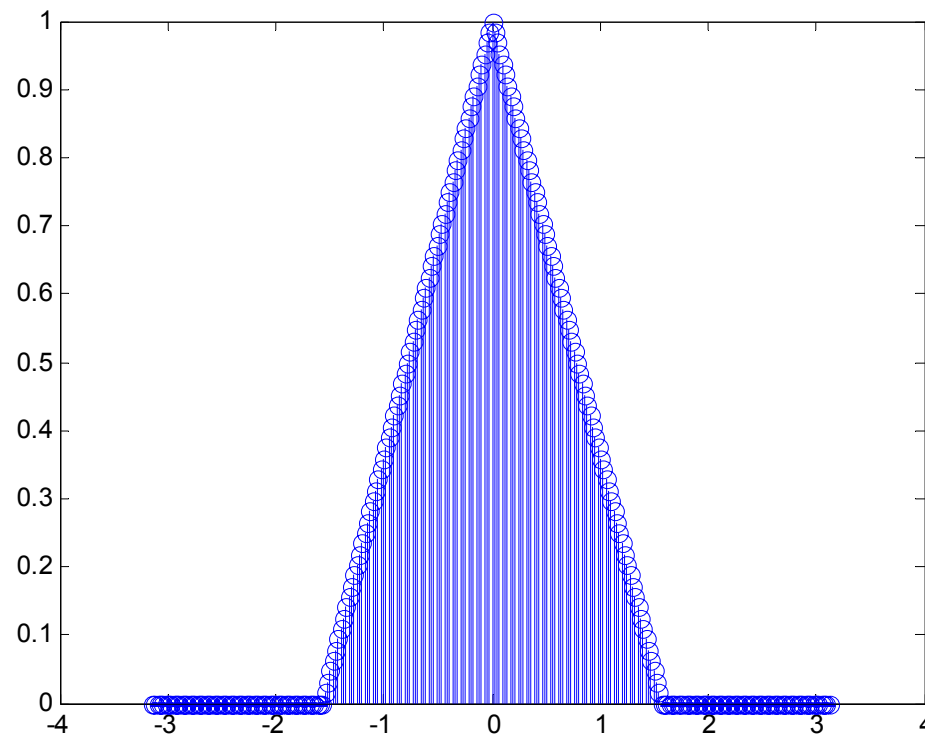
Primjene

- Dizajn i implementacija filtara u frekvencijskoj domeni:
 - željenu frekvencijsku karakteristiku filtra specificiramo uzorcima u frekvencijskoj domeni,
 - signal i impulsni odziv filtra nadopunimo nulama,
 - provjerimo da li nas karakteristika novog filtra zadovoljava, te
 - implementiramo filter u FFT domeni (“brza konvolucija”).
- Rješenje ne mora biti kauzalno ni stabilno, čak niti filter ne mora biti realan.

Primjer dizajna i realizacije filtra u frekvencijskoj domeni



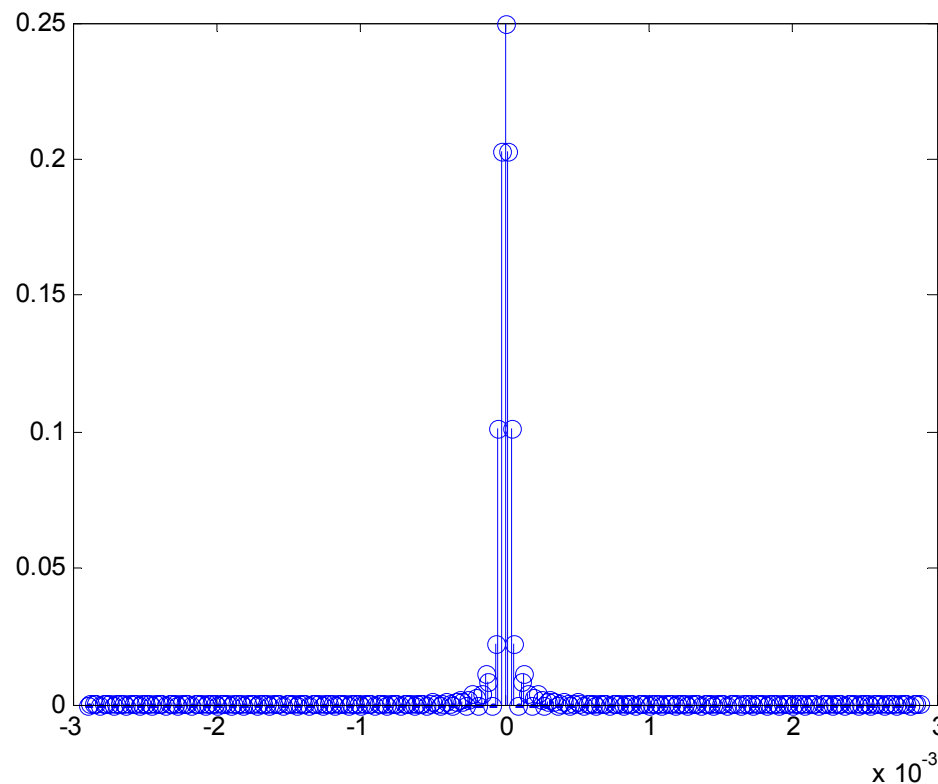
- Neka je željena AF karakteristika filtra H pilastog oblika, a fazna neka je nula:



Primjer dizajna i realizacije filtra u frekvencijskoj domeni



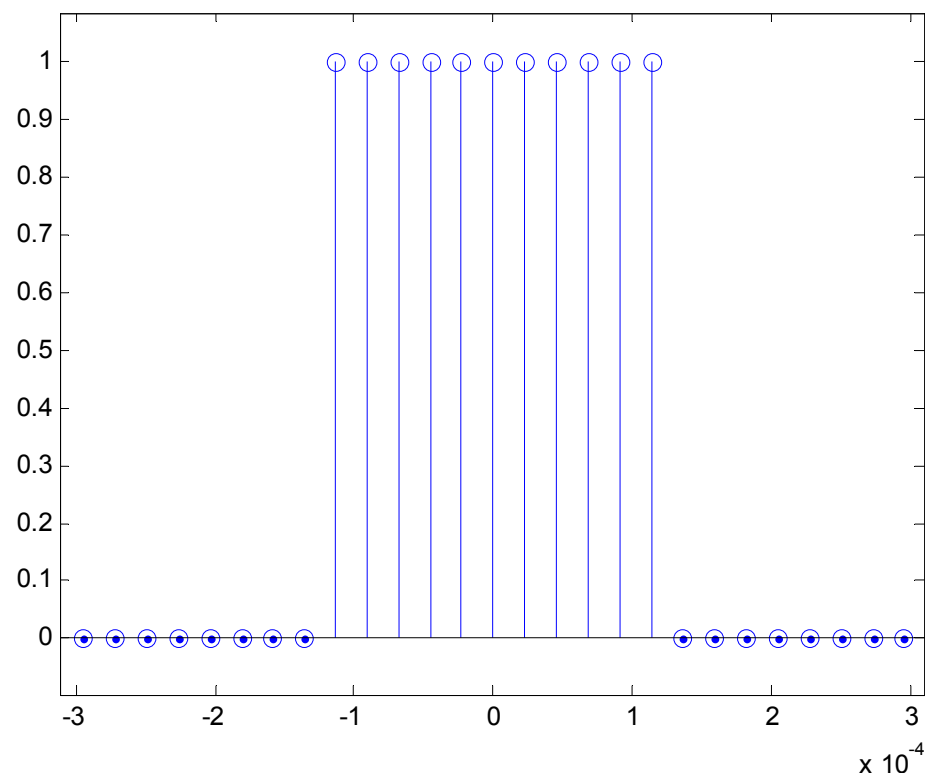
- Pripadni impulsni odziv filtra h je realan i simetričan oko nule (nije kauzalan!):



Primjer dizajna i realizacije filtra u frekvencijskoj domeni



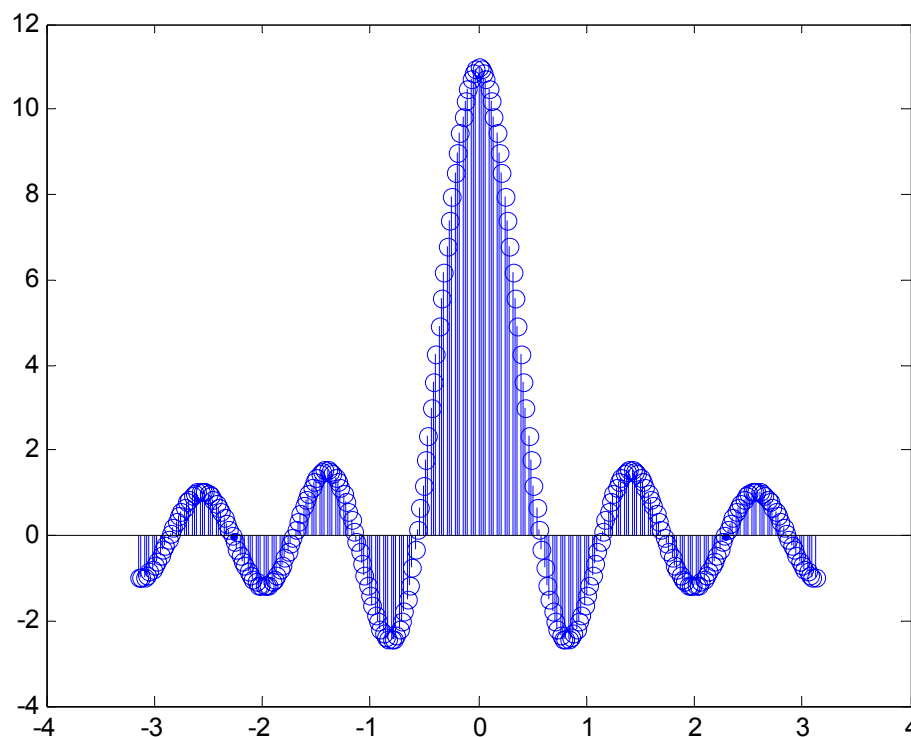
- Neka je signal u pravokutni puls, također simetričan oko nule:



Primjer dizajna i realizacije filtra u frekvencijskoj domeni



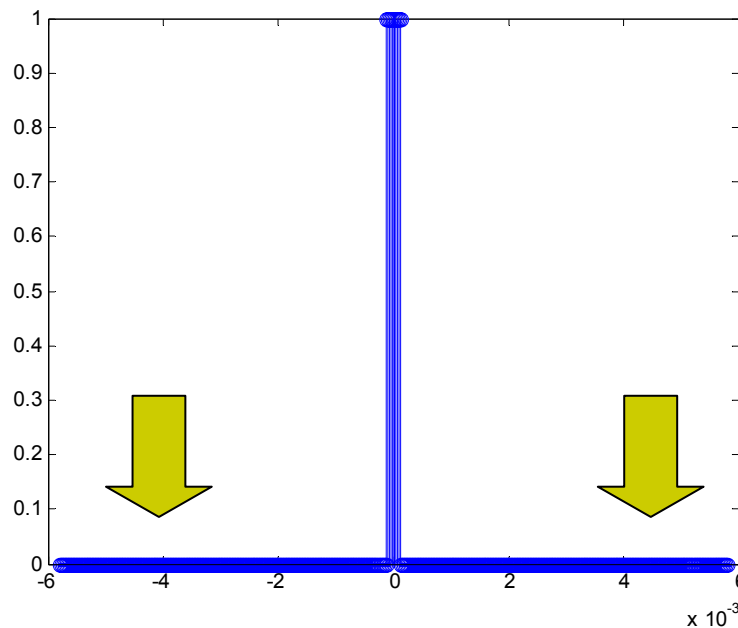
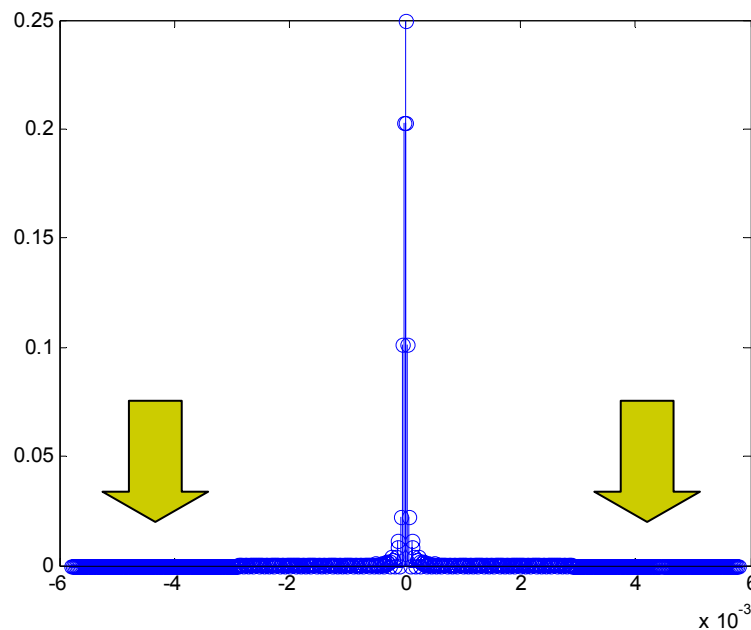
- Spektar U mu je (zbog simetrije) realan:



Primjer dizajna i realizacije filtra u frekvencijskoj domeni



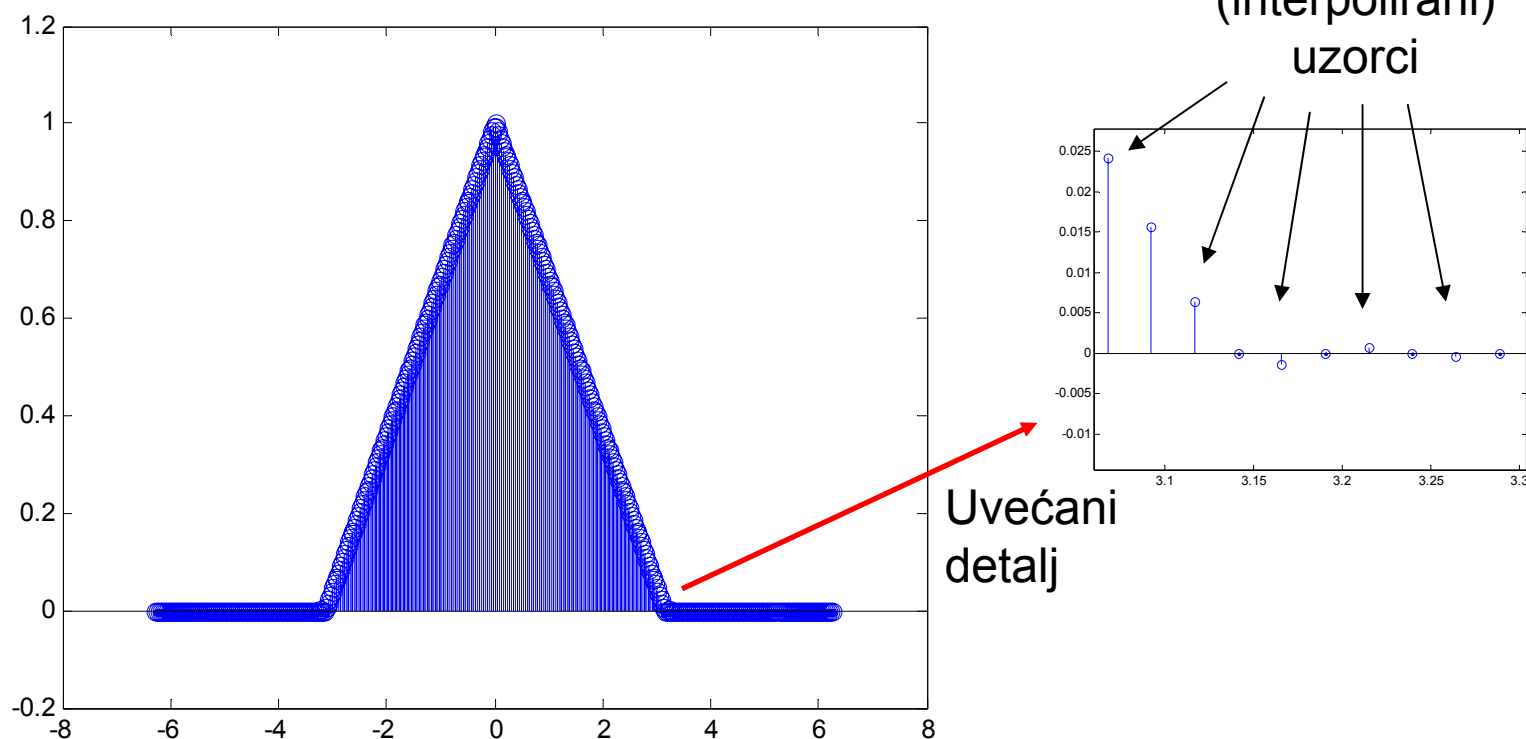
- Filtar implementiramo množenjem u frekvencijskoj domeni, a kako bi rezultat cirkularne konvolucije bio jednak linearnoj, nadopunimo u i h nulama (vidi strelice).



Primjer dizajna i realizacije filtra u frekvencijskoj domeni



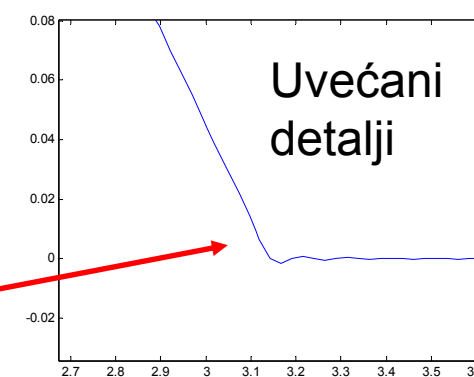
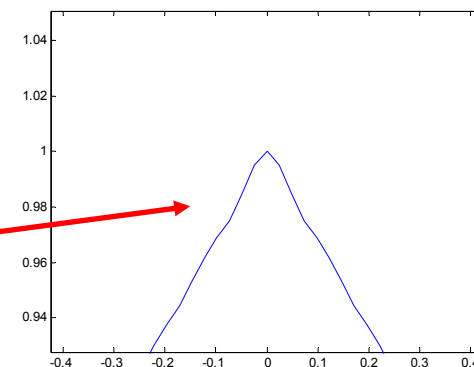
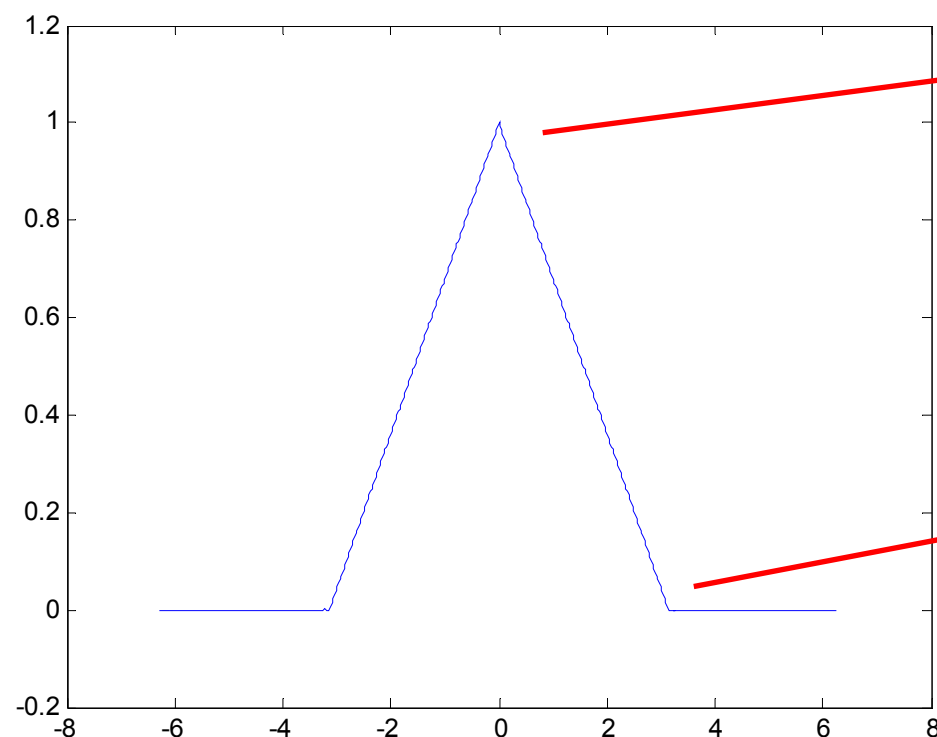
- Posljedica dodavanja nula: DFT spektri imaju više uzoraka.



Primjer dizajna i realizacije filtra u frekvencijskoj domeni



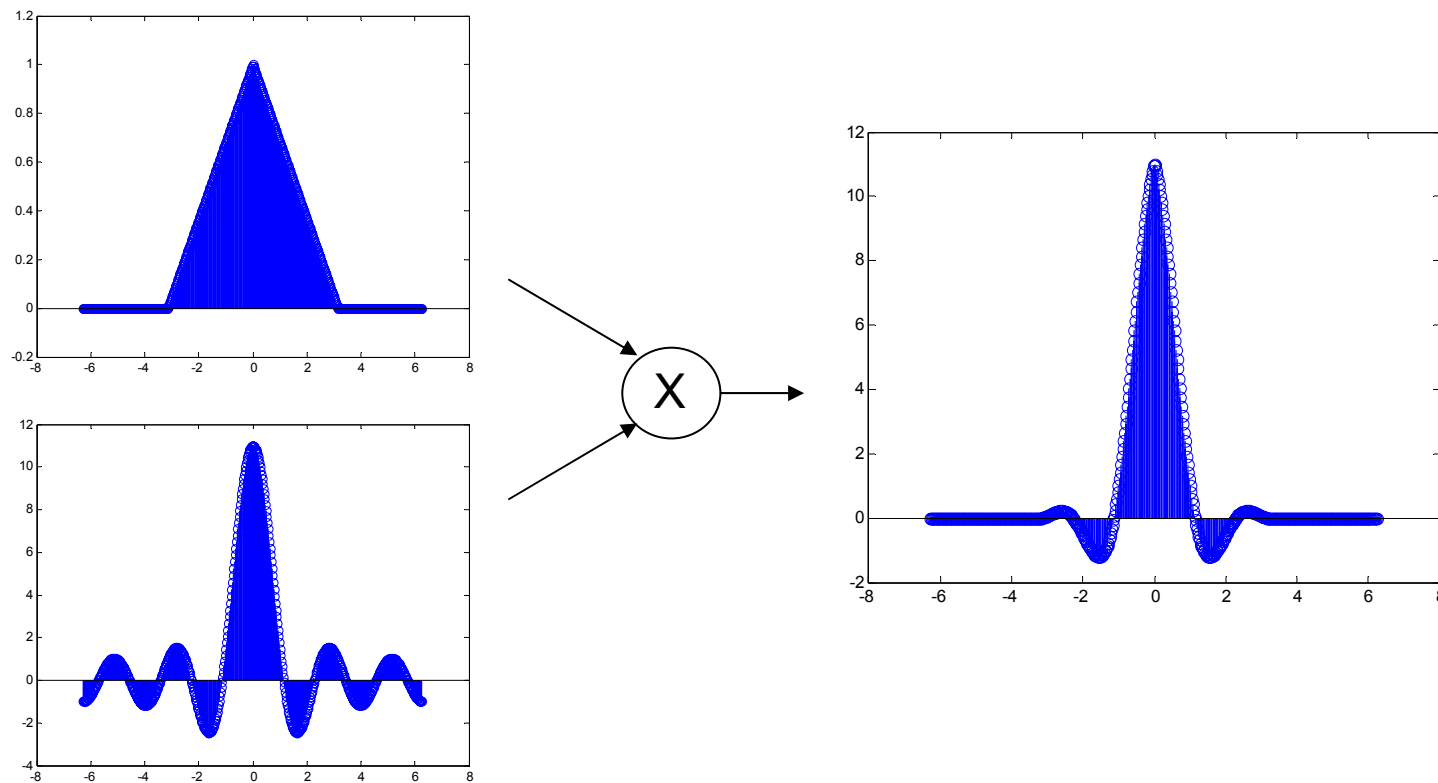
- Temeljno pitanje je da li nas tako dobiven $H(e^{j\omega})$ zadovoljava.



Realizacija filtra u frekvencijskoj domeni



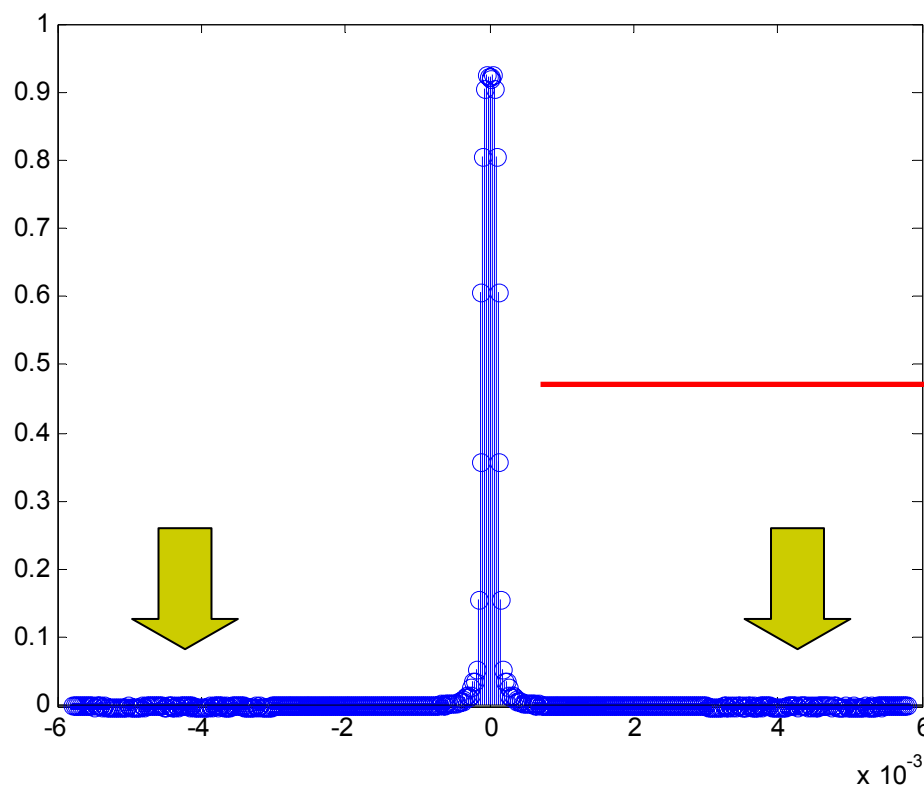
- Realizacija = množenje u frekvencijskoj domeni



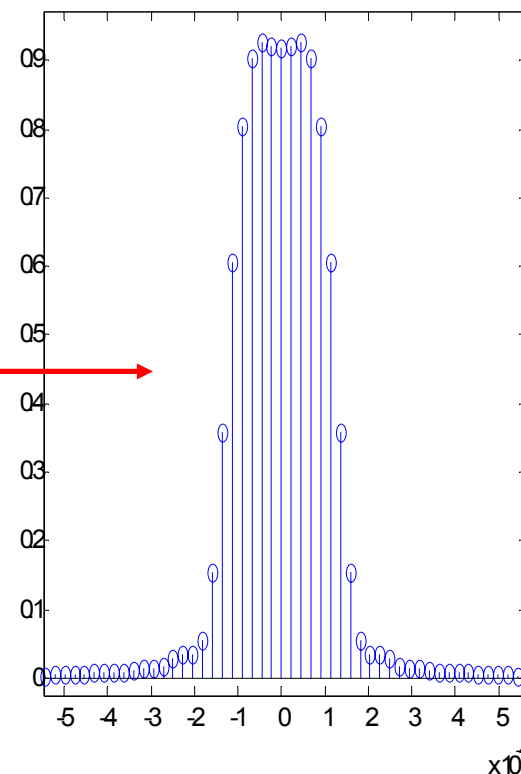


Rezultat filtriranja

- Inverzna DFT daje:



Uvećani
dio rezultata

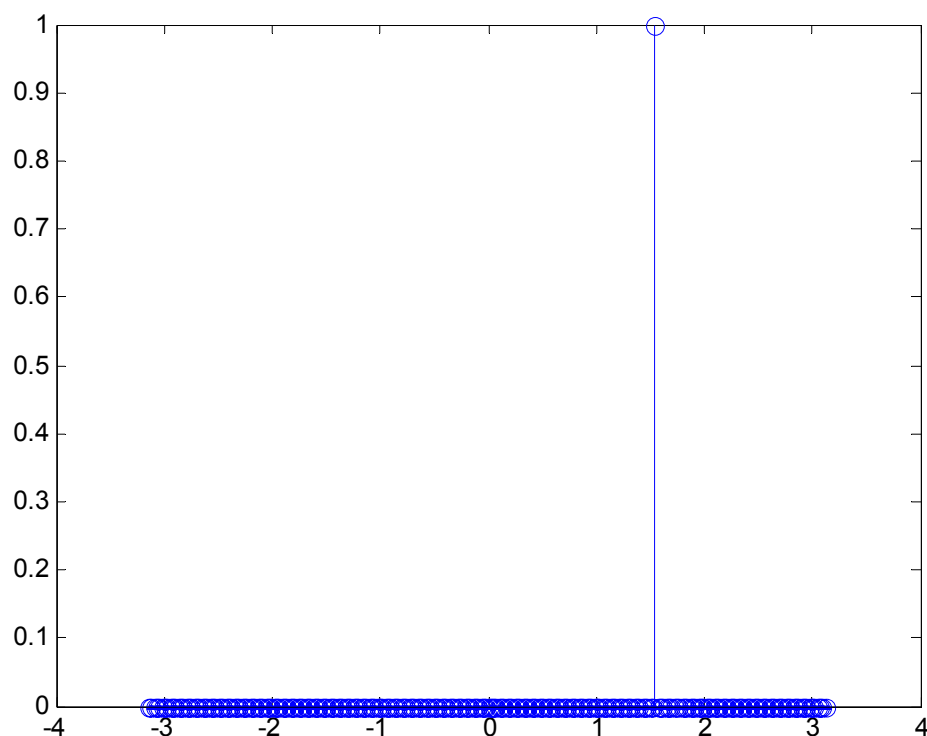


- “Višak nula” može se ukloniti (strelice).



Primjer 2

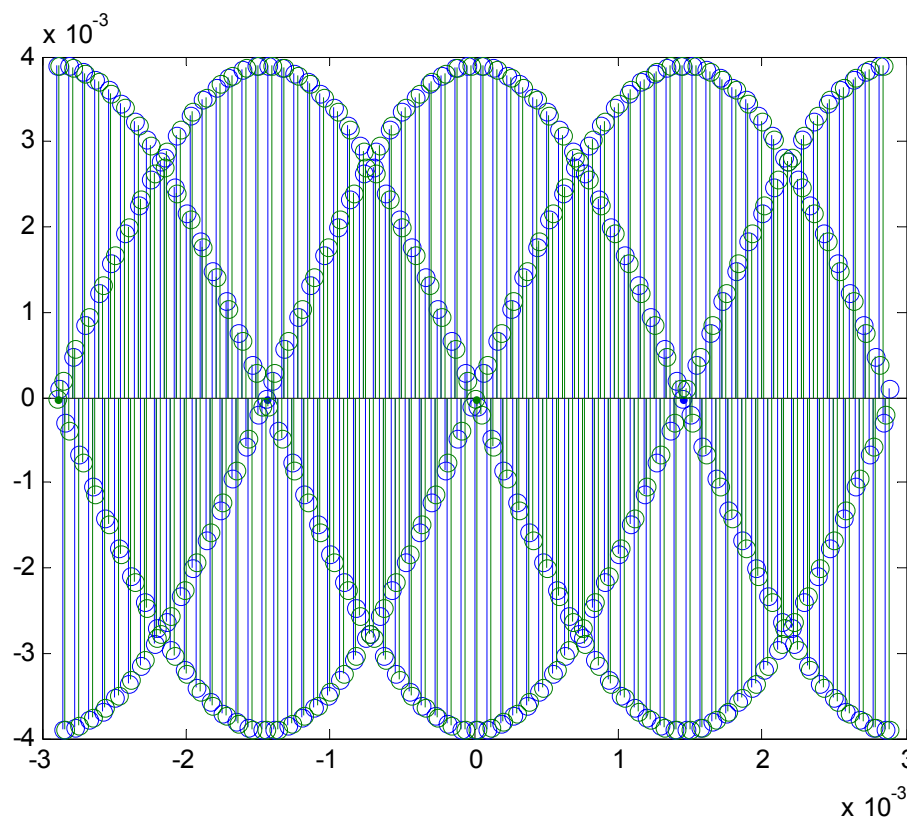
- Neka željena AF karakteristika filtra ima samo jedan uzorak = 1, a ostali uzorci te fazna karakteristika neka su nula.





Primjer 2

- Pripadni impulsni odziv filtra h je kompleksan:





Primjer 2

- Iz načina kako smo došli do njega, jasno je da filter odgovara stupcu inverzne DFT matrice.
- Nadalje, proporcionalan je konjugiranom retku DFT matrice, odnosno korespondira s odgovarajućim filtrom iz DFT sloga (*vidi poglavlje Spektar signala i pripadajuće izraze*).
- Filter, naravno, ima kompleksne koeficijente.
- Promjenom pozicije uzorka AF karakteristike možemo dobiti sve filtre u DFT slogu.



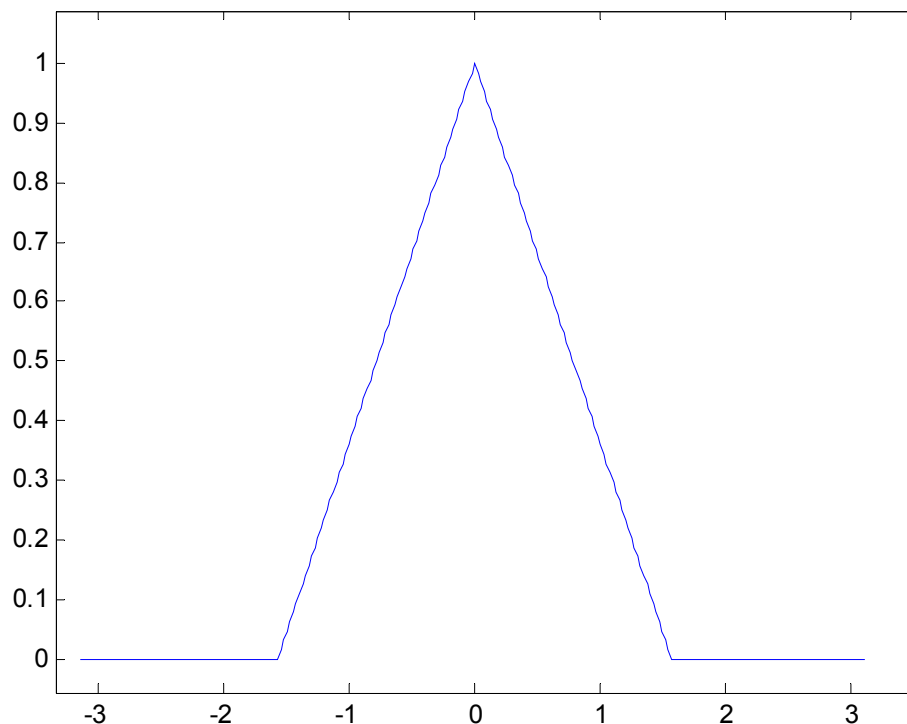
Dizajn FIR filtara

- U prethodnim razmatranjima nismo odgovorili na pitanje kako postići da dobiveni $H(e^{j\omega})$ zadovoljava traženu specifikaciju.
- Nadalje, implementacija u filtara frekvencijskoj domeni ne daje odziv korak po korak, često potreban za rad u stvarnom vremenu.
- Stoga ćemo razmotriti i neke druge tehnike dizajna filtara.



Dizajn FIR filtara

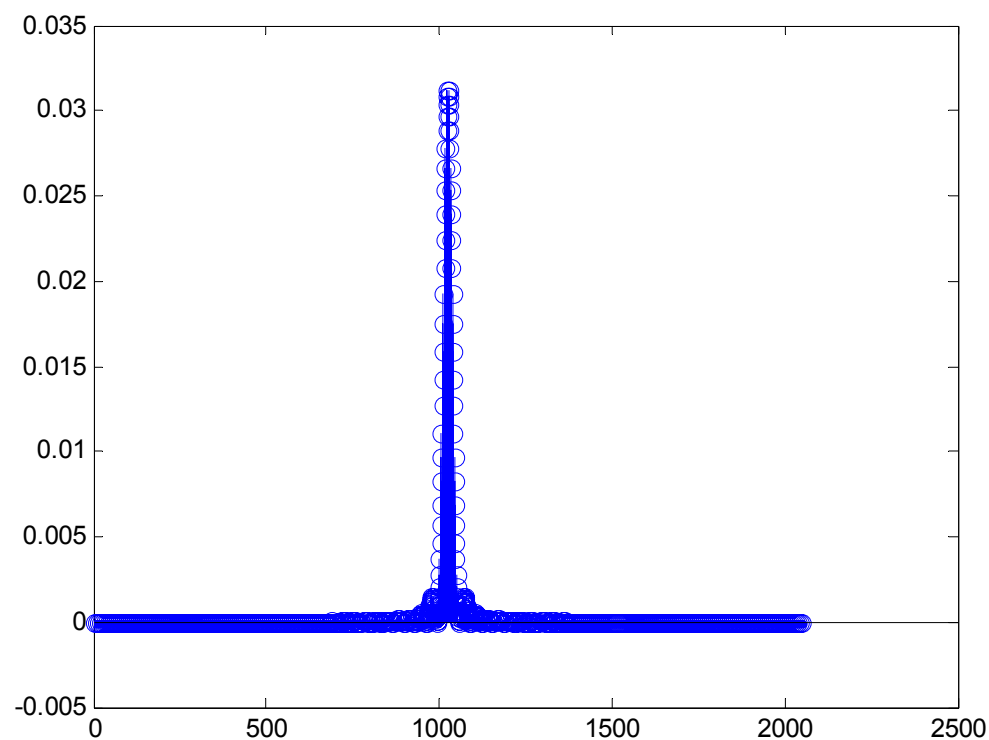
- Krećemo od željene karakteristika filtra $H(e^{j\omega})$.
- Neka je pilastog oblika, a fazna neka je nula:





Dizajn FIR filtara

- Impulsni odziv takvog filtra je beskonačnog trajanja:

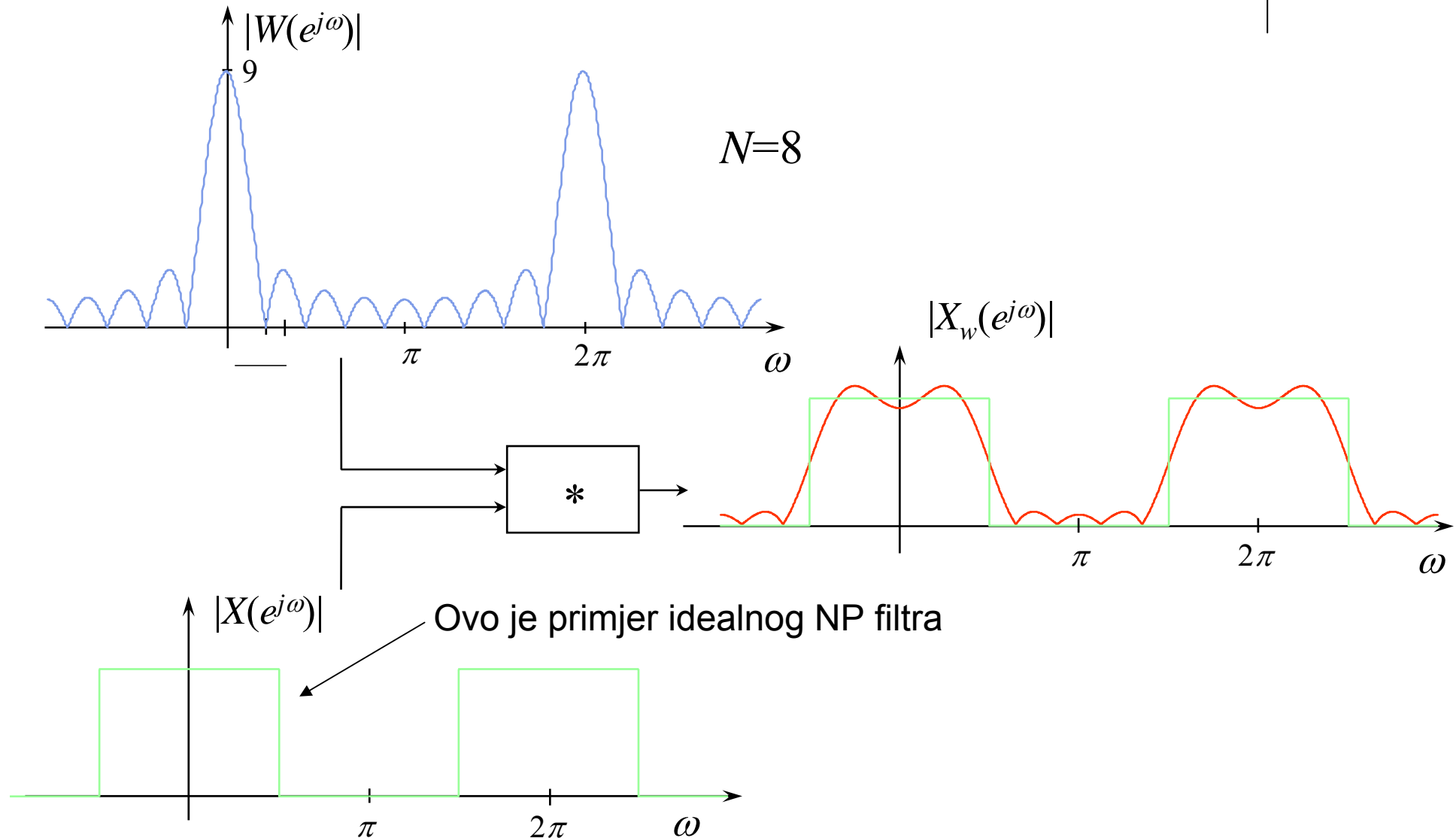


Dizajn FIR filtera metodom vremenskih otvora



- Filtar s konačnim impulsnim odzivom (FIR) možemo dobiti izrezivanjem beskonačnog odziva vremenskim otvorom.
- Množenje vremenskim otvorom odgovara konvoluciji u frekvencijskoj domeni.
- U primjeru implementacije u frekvencijskoj domeni, beskonačni impulsni odziv je bio odrezan pravokutnim otvorom te nadopunjen nulama: utjecaj na $H(e^{j\omega})$ smo već vidjeli!

Utjecaj vremenskog otvora na amplitudu spektra



Projektiranje FIR filtara metodom vremenskih otvora

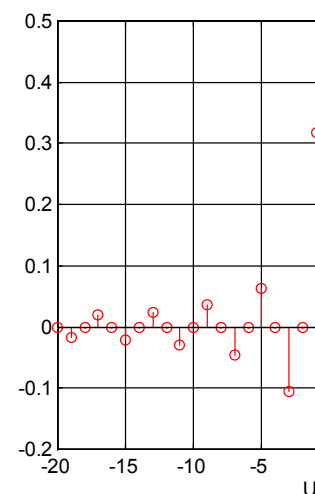
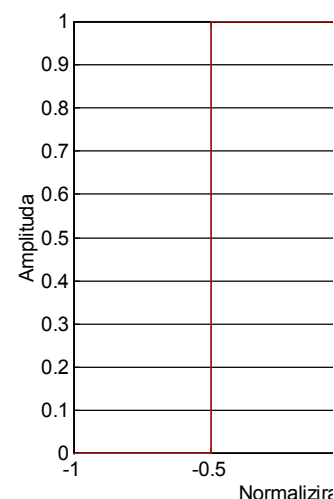


- Postupak projektiranja je slijedeći:

- ◆ Uzeti idealnu karakteristiku filtra
- ◆ Izračunati inverznu Fourierovu transformaciju idealne karakteristike filtra



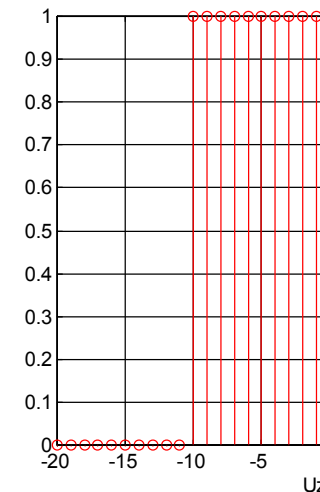
beskonačan impulsni odziv



Projektiranje FIR filtara metodom vremenskih otvora ...



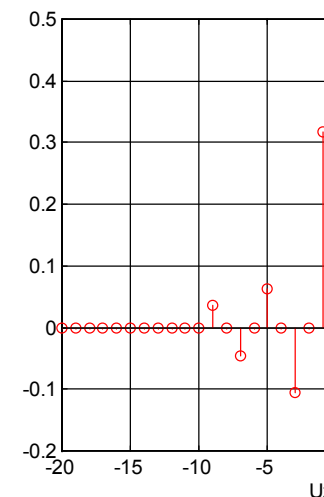
- Odabrati vremenski otvor
(npr. pravokutni)



- ◆ Pomnožiti beskonačni
impulsni odziv s uzorcima
vremenskog otvora



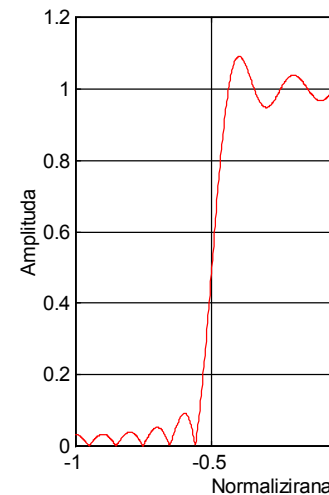
konačan impulsni odziv



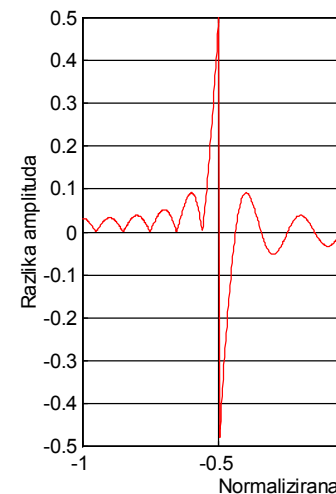
Projektiranje FIR filtara metodom vremenskih otvora ...



- Amplitudno frekvencijska karakteristika idealnog i dobivenog filtra.



- ◆ Greška dobivenog filtra.



Tipovi fiksnih vremenskih otvora



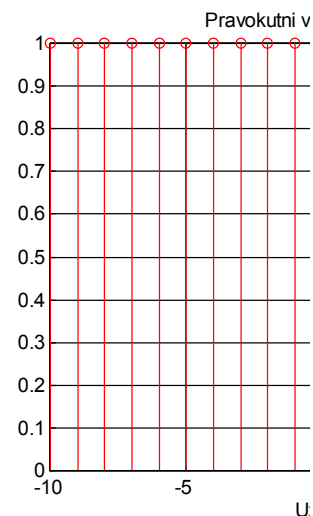
- Pravokutni
- Bartlettov (trokutni)
- Hannov (kosinusni)
- Hammingov
- Blackmanov

Fiksni vremenski otvori



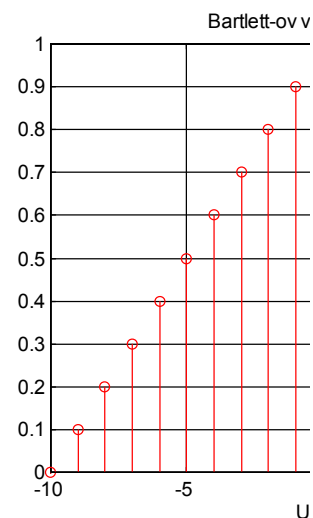
Pravokutni vremenski otvor

$$w[k] = 1, \quad -\frac{N}{2} \leq k \leq \frac{N}{2}$$

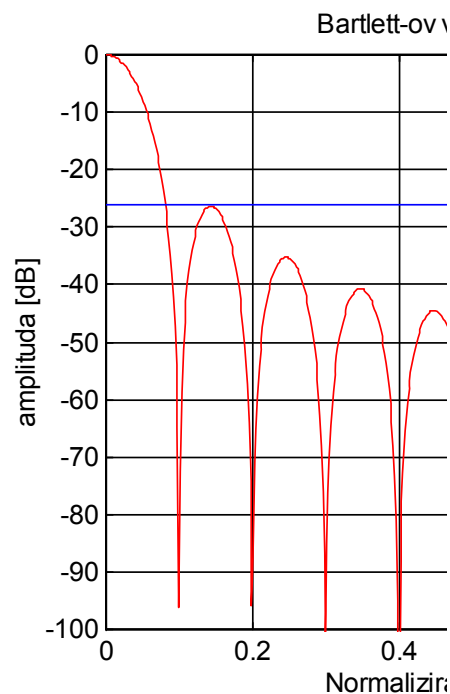
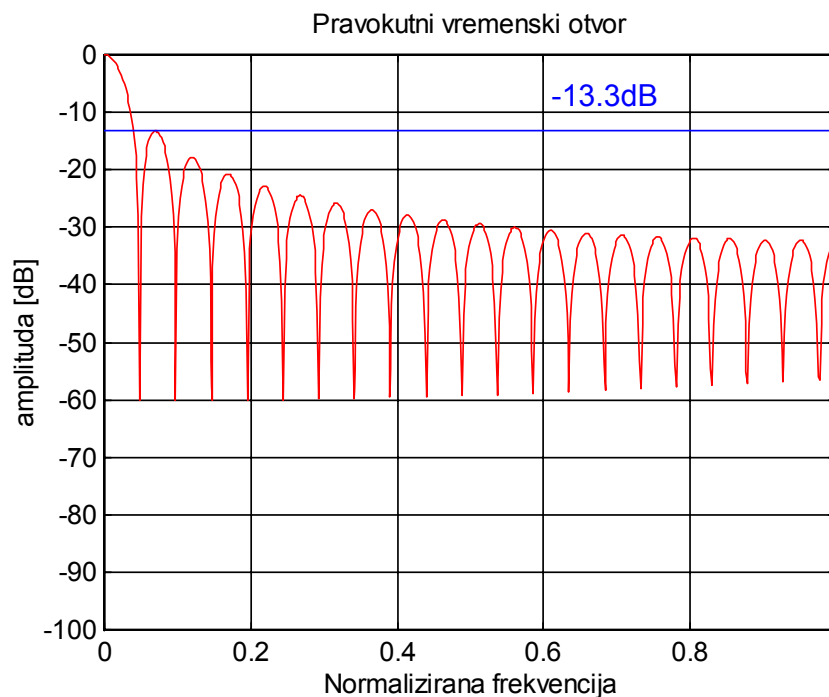


Bartlettov vremenski otvor

$$w[k] = 1 - \frac{|k|}{N/2}, \quad -\frac{N}{2} \leq k \leq \frac{N}{2}$$



Fiksni vremenski otvori (amplitudno-frekvencijske karakteristike)



Fiksni vremenski otvori ...



Hannov vremenski otvor

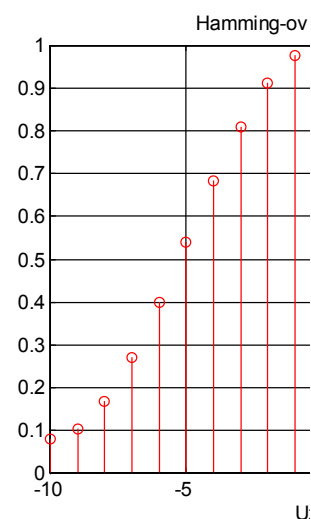
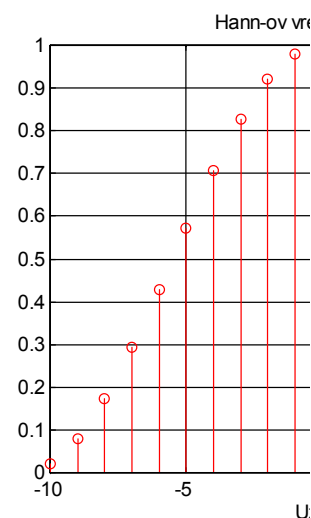
$$w[k] = 0,5 + 0,5 \cdot \cos\left(\frac{2 \cdot \pi \cdot k}{N + 1}\right),$$

$$-\frac{N}{2} \leq k \leq \frac{N}{2}$$

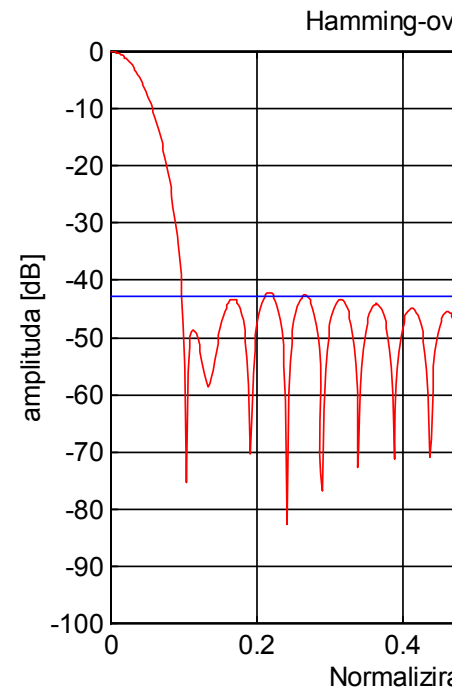
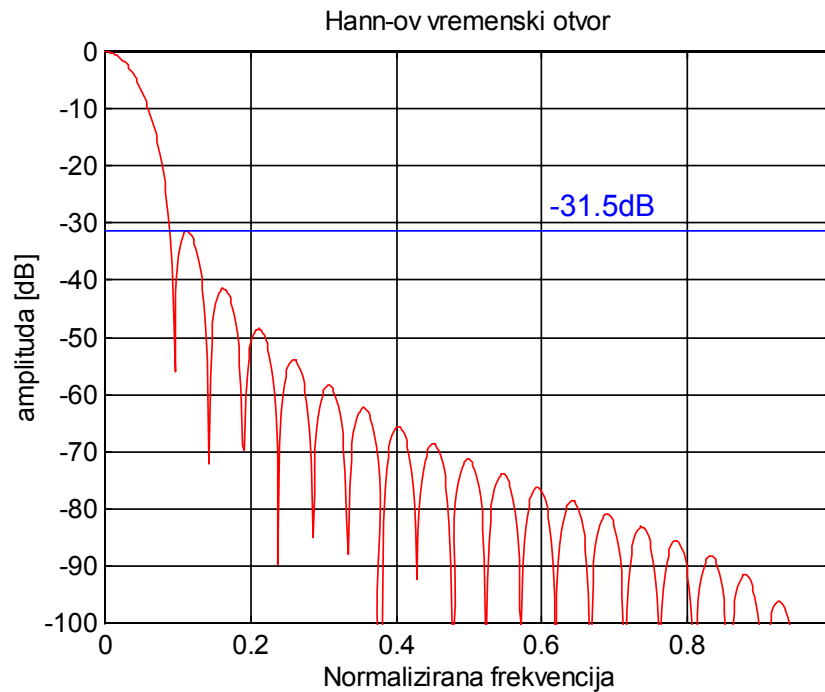
Hammingov vremenski otvor

$$w[k] = 0,54 + 0,46 \cdot \cos\left(\frac{2 \cdot \pi \cdot k}{N + 1}\right),$$

$$-\frac{N}{2} \leq k \leq \frac{N}{2}$$



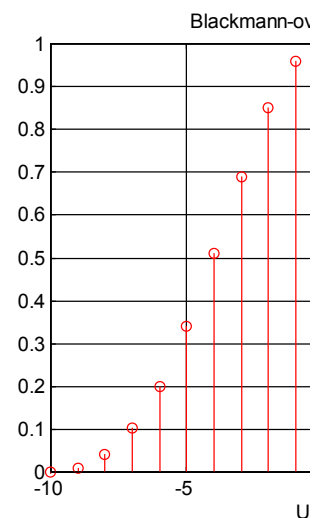
Fiksni vremenski otvori (amplitudno-frekvencijske karak.)



Fiksni vremenski otvori ...

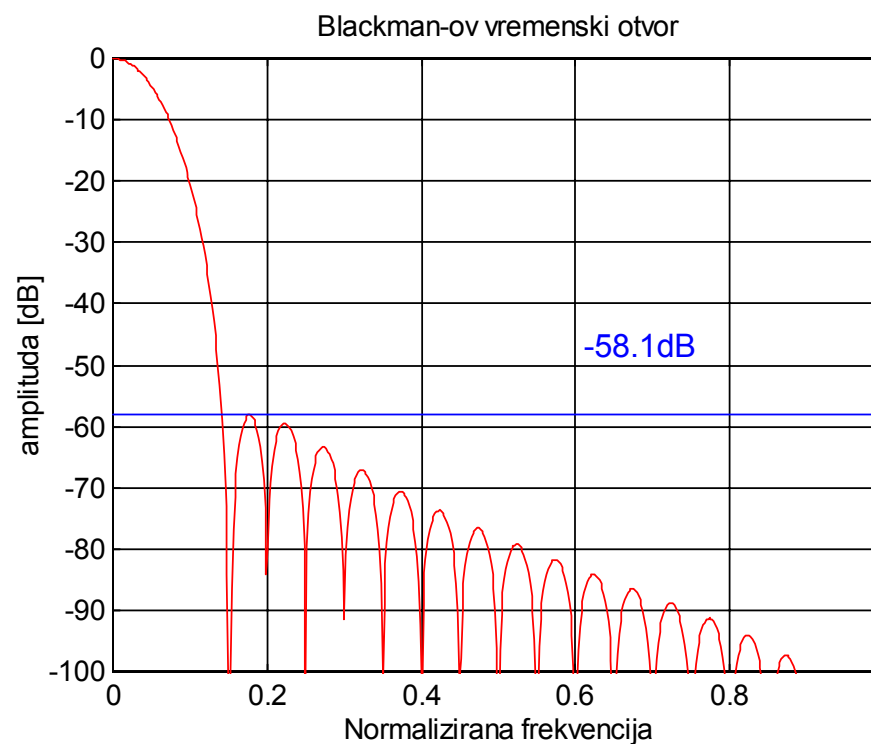


Blackmanov vremenski otvor

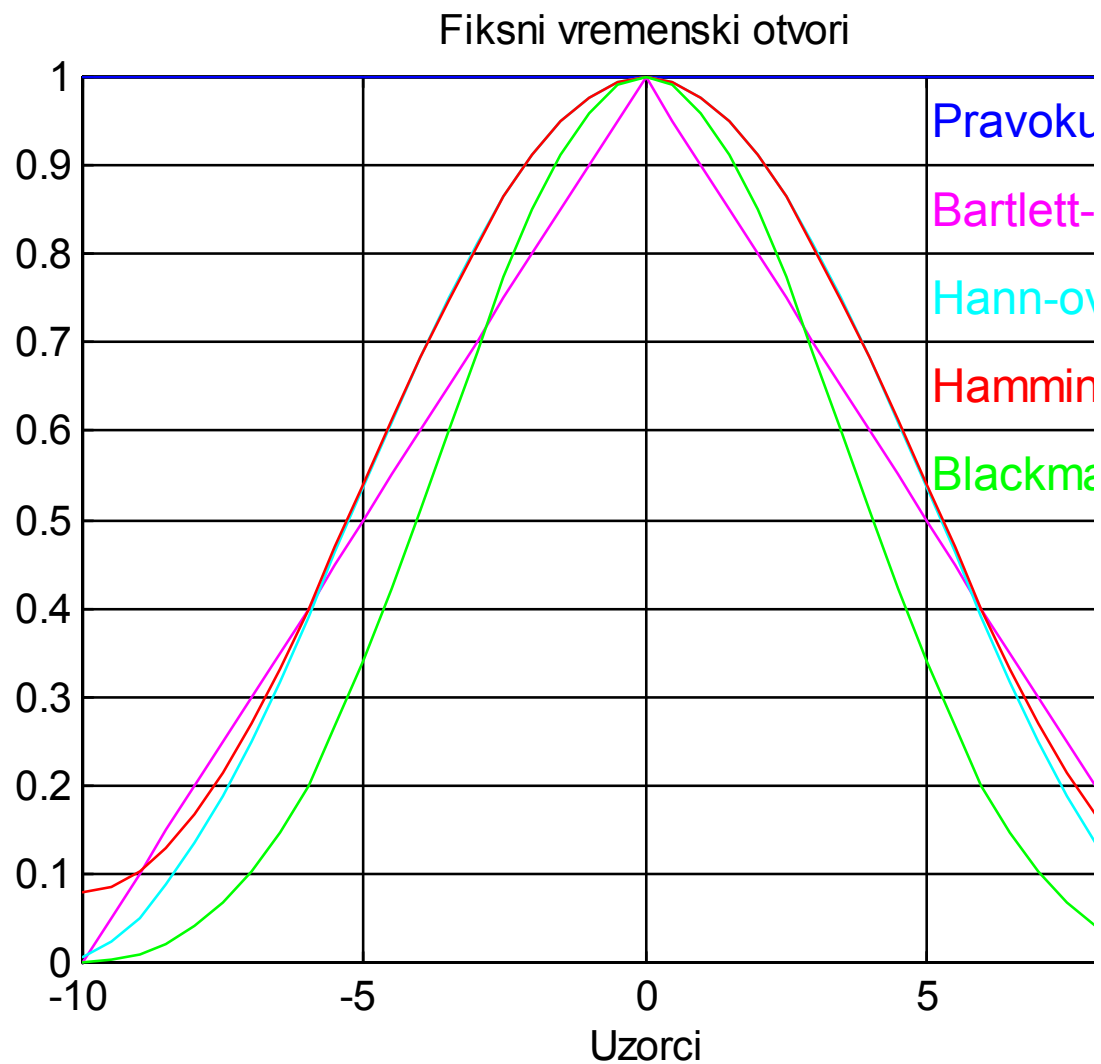


$$w[k] = 0,42 + 0,5 \cdot \cos\left(\frac{2 \cdot \pi \cdot k}{N + 1}\right) + 0,08 \cdot \cos\left(\frac{4 \cdot \pi \cdot k}{N + 1}\right),$$
$$-\frac{N}{2} \leq k \leq \frac{N}{2}$$

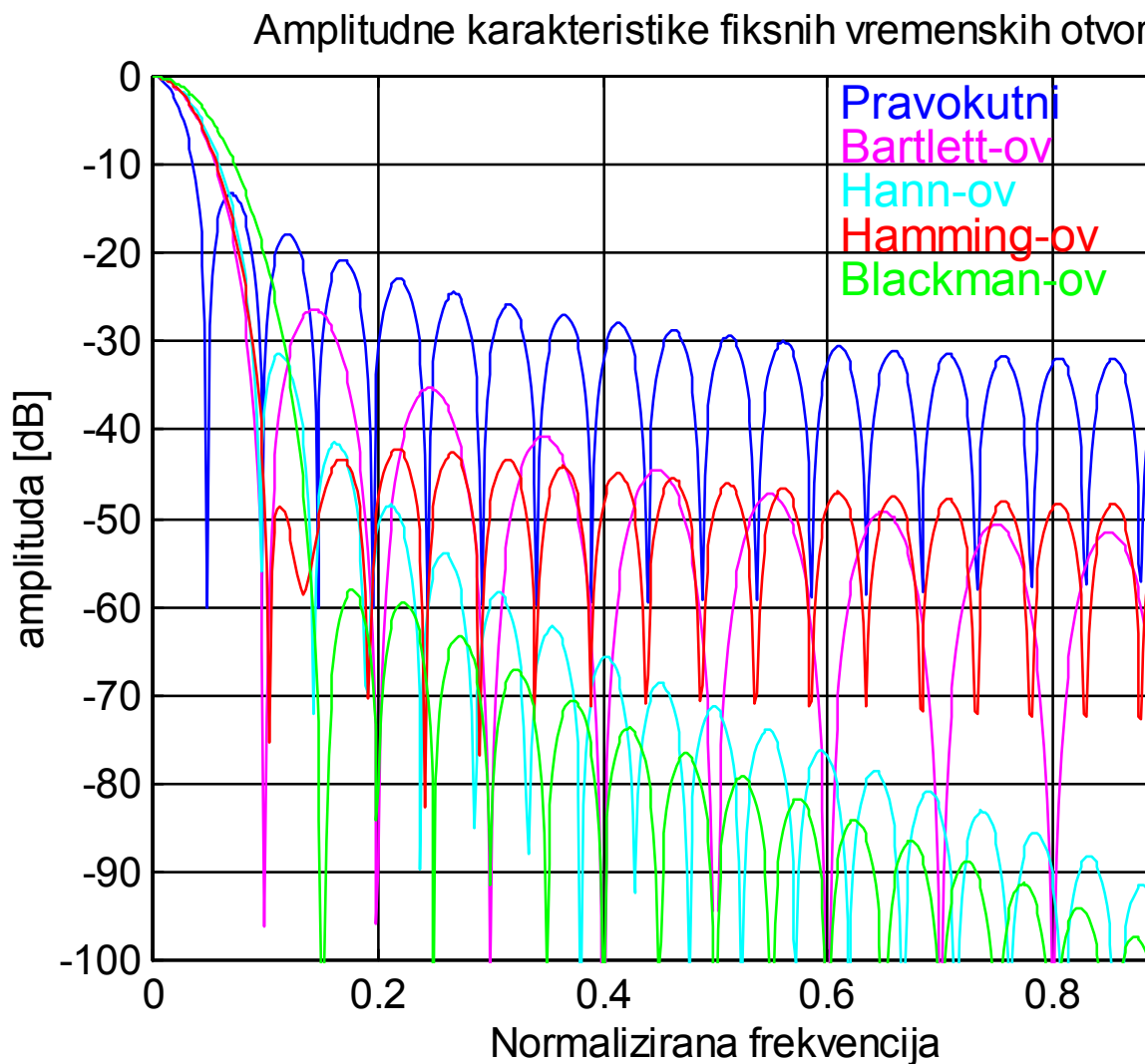
Fiksni vremenski otvori (amplitudno-frekvencijske karak.)



Fiksni vremenski otvori ...



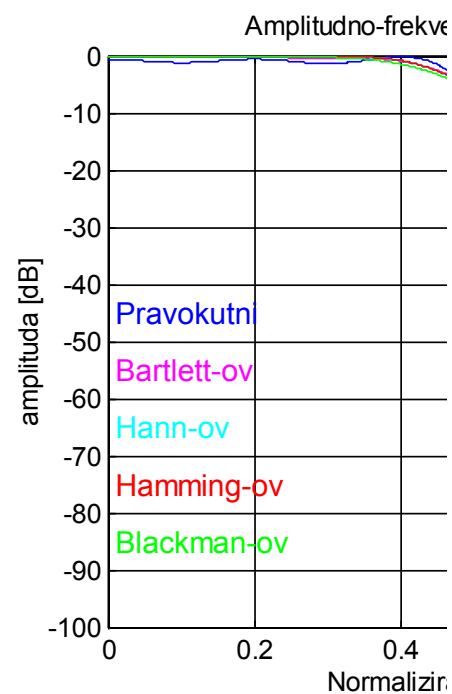
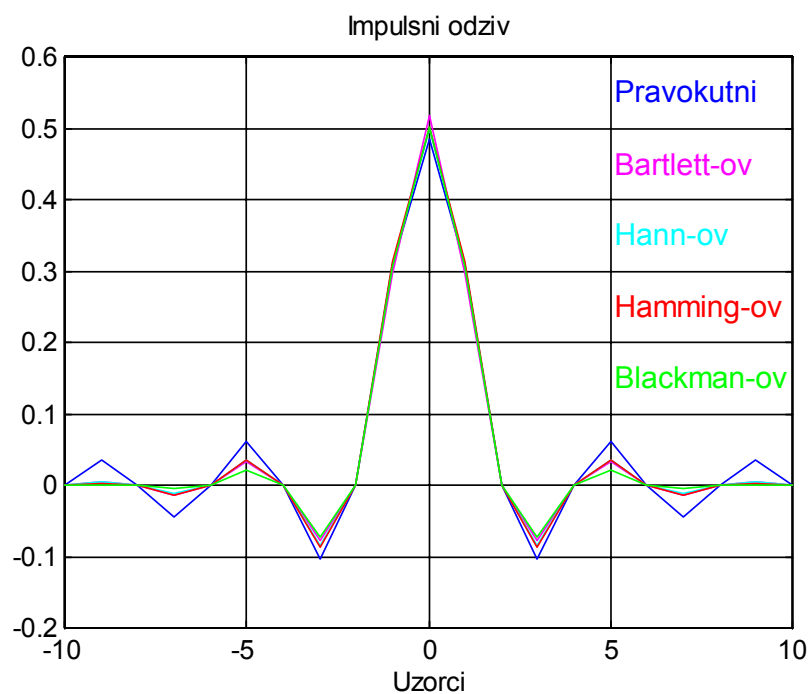
Fiksni vremenski otvori (*amplitudno-frekvencijske karak.*)

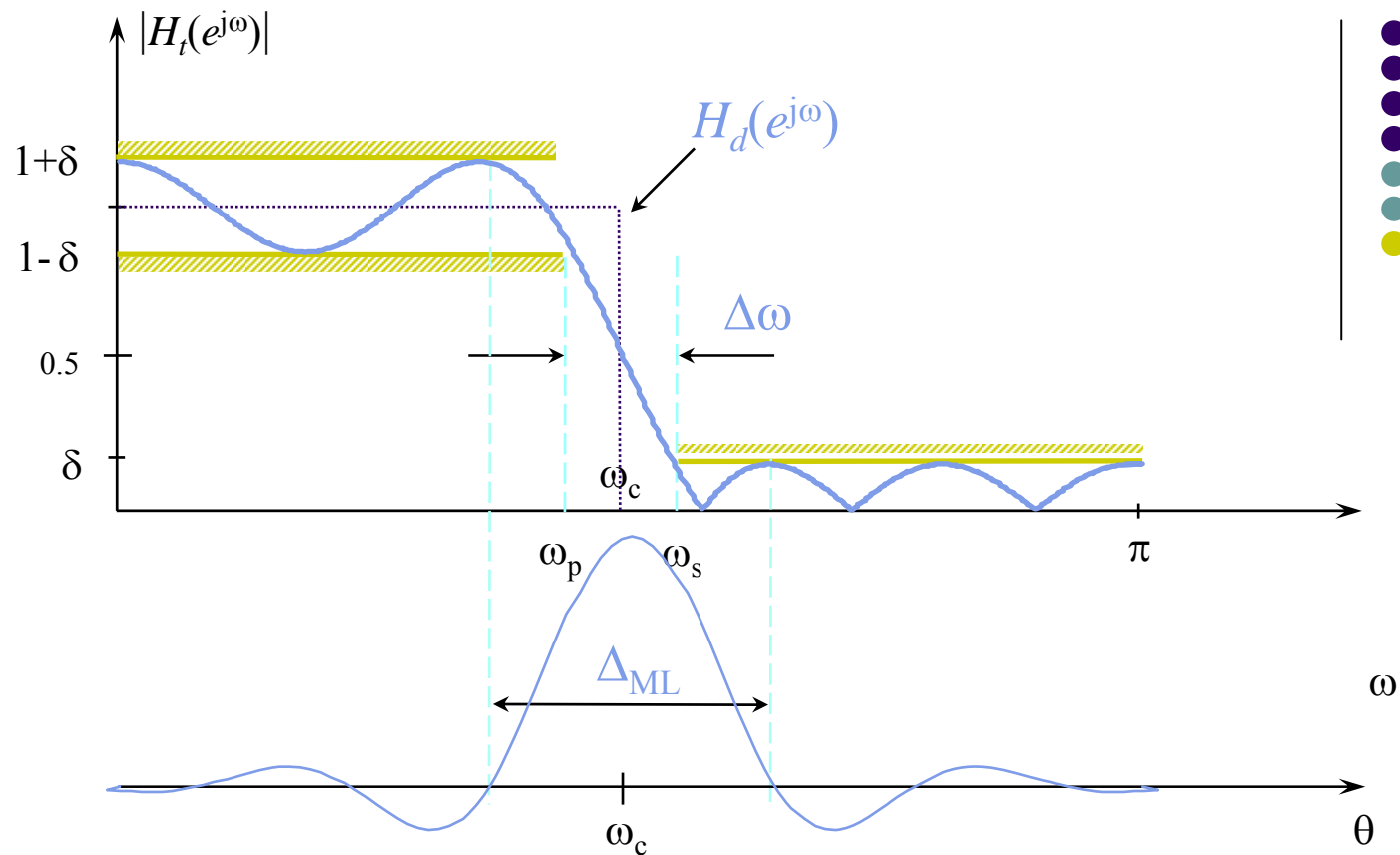


NP filtri dobiveni fiksnim vremenskim otvorima



- primjer: $N=20$, $\omega_c=0,5\pi$





Tip otvora	Širina glavne latice Δ_{ML}	Gušenje prve bočne latice	Gušenje u stop bandu	Širina prijelaznog područja ($\Delta\omega$)
Pravokutni	$4\pi/(N+1)$	13,3	20,9	$0,92\pi/(N/2)$
Bartlettov	$8\pi/N$	25	25	
Hannov	$8\pi/N$	31,5	43,9	$3,11\pi/(N/2)$
Hammingov	$8\pi/N$	42,7	54,5	$3,32\pi/(N/2)$
Blackmanov	$12\pi/N$	58,1	75,3	$5,56\pi/(N/2)$



Još o vremenskim otvorima

- Osim fiksnih, postoje i promjenjivi vremenski otvori kod kojih je moguće fino podesiti širinu glavne laticice i gušenje bočnih.
- Utjecaj vremenskog otvora reprezentiran je konvolucijom spektara → podjednak je u svim frekvencijskim područjima.
- To često nije poželjno, pa postoje i brojne druge metode dizajna.



Drugi pristup

- Želimo li projektirati FIR filter s konstantnim grupnim kašnjenjem, možemo krenuti od željene strukture filtra.
- Već smo vidjeli da postoje 4 tipa FIR filtara sa linearnom fazom (simetričnim ili antisimetričnim impulsnim odzivom).
- Mi ćemo napraviti analizu i primjere za tip 1: simetričan odziv uz neparan broj uzoraka.



Tip 1 FIR filtra

Impulsni odziv zadovoljava uvjet simetrije:

$$h[k] = h[N - k], \quad 0 \leq k \leq N$$

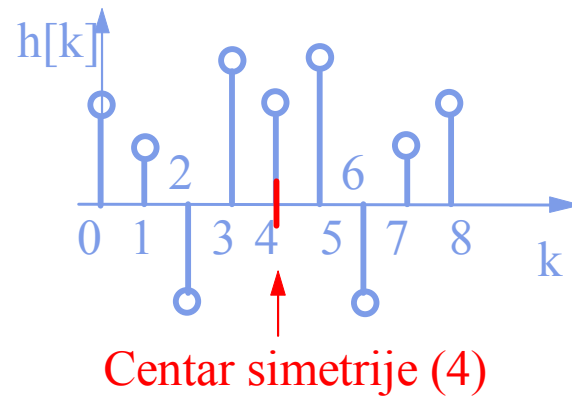
Radi jednostavnosti neka je $N=8$.

U tom slučaju prijenosna funkcija filtra je

$$H(z) = h[0] + h[1] \cdot z^{-1} + h[2] \cdot z^{-2} + h[3] \cdot z^{-3} + h[4] \cdot z^{-4} + \\ + h[5] \cdot z^{-5} + h[6] \cdot z^{-6} + h[7] \cdot z^{-7} + h[8] \cdot z^{-8}$$



Tip 1 FIR filtra: simetrija



Za simetričan tip 1 FIR filter i $N=8$ vrijedi:

$$h[0] = h[8], h[1] = h[7], h[2] = h[6], h[3] = h[5].$$

Tip 1 FIR filtra ...



Skupimo simetrične koeficijente

$$H(z) = h[0] \cdot (1 + z^{-8}) + h[1] \cdot (z^{-1} + z^{-7}) + \\ + h[2] \cdot (z^{-2} + z^{-6}) + h[3] \cdot (z^{-3} + z^{-5}) + h[4] \cdot z^{-4} =$$

i razložimo članove u zagradi izlučivanjem z^{-4} :

$$= z^{-4} \cdot \{h[0] \cdot (z^4 + z^{-4}) + h[1] \cdot (z^3 + z^{-3}) + \\ + h[2] \cdot (z^2 + z^{-2}) + h[3] \cdot (z + z^{-1}) + h[4]\}$$

Tip 1 FIR filtra ...



Pripadna frekvencijska karakteristika je

$$H(e^{j\omega}) = e^{-j4\omega} \cdot \{2h[0] \cdot \cos(4\omega) + 2h[1] \cdot \cos(3\omega) + \\ + 2h[2] \cdot \cos(2\omega) + 2h[3] \cdot \cos(\omega) + h[4]\}$$

ili u općem slučaju

$$H(e^{j\omega}) = e^{-jN\omega/2} \cdot \left\{ \sum_{m=0}^{N/2} a[m] \cdot \cos(\omega \cdot m) \right\}$$

$$a[0] = h\left[\frac{N}{2}\right], \quad a[m] = 2h\left[\frac{N}{2} - m\right], \quad 1 \leq m \leq \frac{N}{2}$$

Tip 1 FIR filtra zaključak



Tip 1 opći izraz:

kašnjenje (linearni fazni član)

AF karakteristika s predznakom, $A(e^{j\omega})$

$$H(e^{j\omega}) = e^{-jN\omega/2} \cdot \left\{ \sum_{m=0}^{N/2} a[m] \cdot \cos(\omega \cdot m) \right\}$$

$$a[0] = h\left[\frac{N}{2}\right], \quad a[m] = 2 \cdot h\left[\frac{N}{2} - m\right], \quad 1 \leq m \leq \frac{N}{2}$$

$$\tau(\omega) = \frac{N}{2}$$

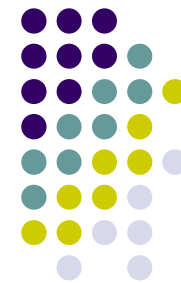
Elementi dizajna su koeficijenti $a[m]$.



Dizajn FIR filtra

- Pitanje je kako pronaći koeficijente $a[m]$ za zadovoljavajuću aproksimaciju željene frekvencijske karakteristike.
- Može se postaviti neki optimizacijski kriterij, a ovisno o kriteriju imat ćemo različite rezultate.
- Označimo željenu karakteristiku sa $H_d(e^{j\omega})$.
- Odvojimo kašnjenje (linearni fazni član) i željenu AF karakteristiku:

$$H_d(e^{j\omega}) = e^{-jN\omega/2} \cdot A_d(e^{j\omega})$$



Optimizacijski kriteriji

- Pogreška ili odstupanje AFK:

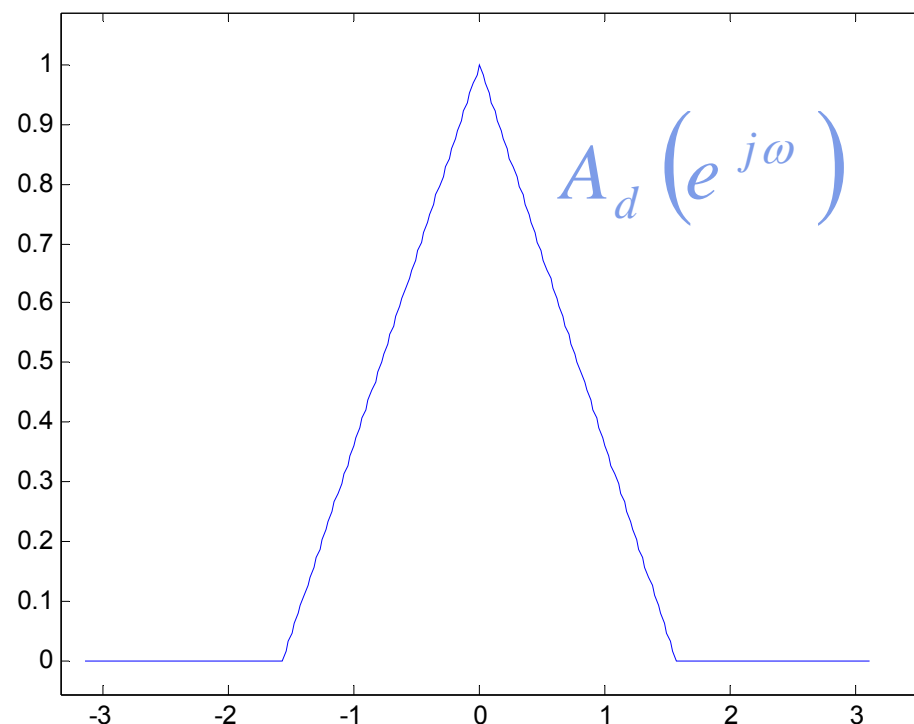
$$E(e^{j\omega}) = W(e^{j\omega}) \cdot \left| A(e^{j\omega}) - A_d(e^{j\omega}) \right|^m$$

- $W(e^{j\omega})$ – težinska funkcija, po želji dizajnera.
- $m=1$: apsolutna pogreška, $m=2$: kvadratna, ...
- Mjere pogreške:

$$\underline{E} = \int_{-\pi}^{\pi} E(e^{j\omega}) d\omega \quad \text{ili} \quad \underline{E} = \max_{\omega \in [-\pi, \pi]} E(e^{j\omega})$$

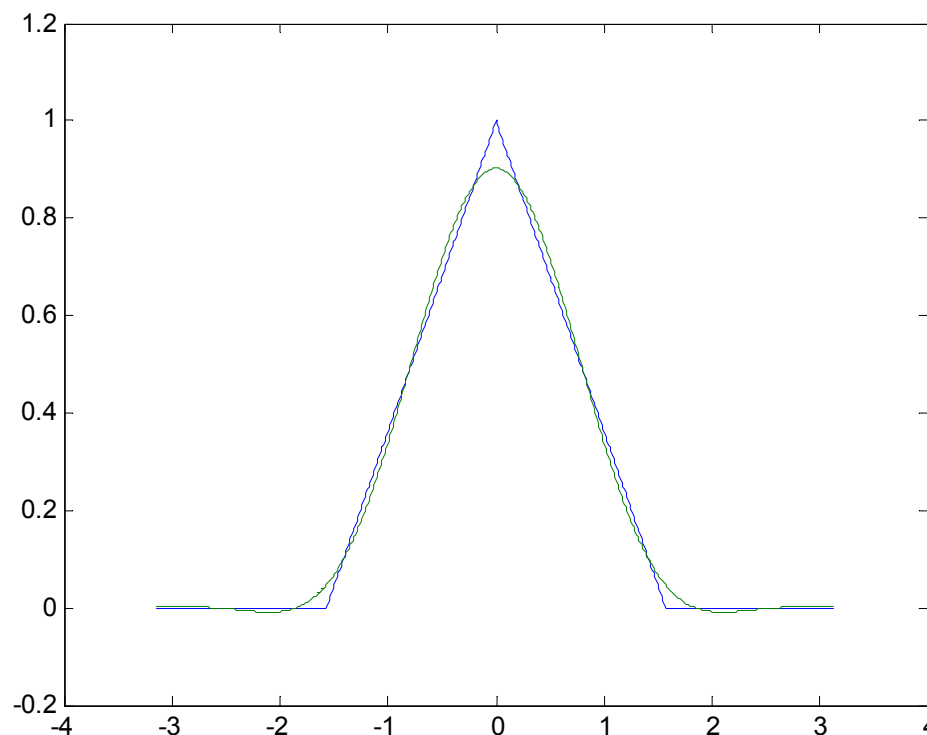
- Potraga za minimumom \underline{E} vodi ka različitim optimizacijskim metodama i rješenjima.

Primjer



- U MATLAB-u ćemo koristiti optimizacijsku funkciju *fminsearch*.
- Argumenti su funkcija kojoj se traži minimum, te početno rješenje.

Rješenje 1

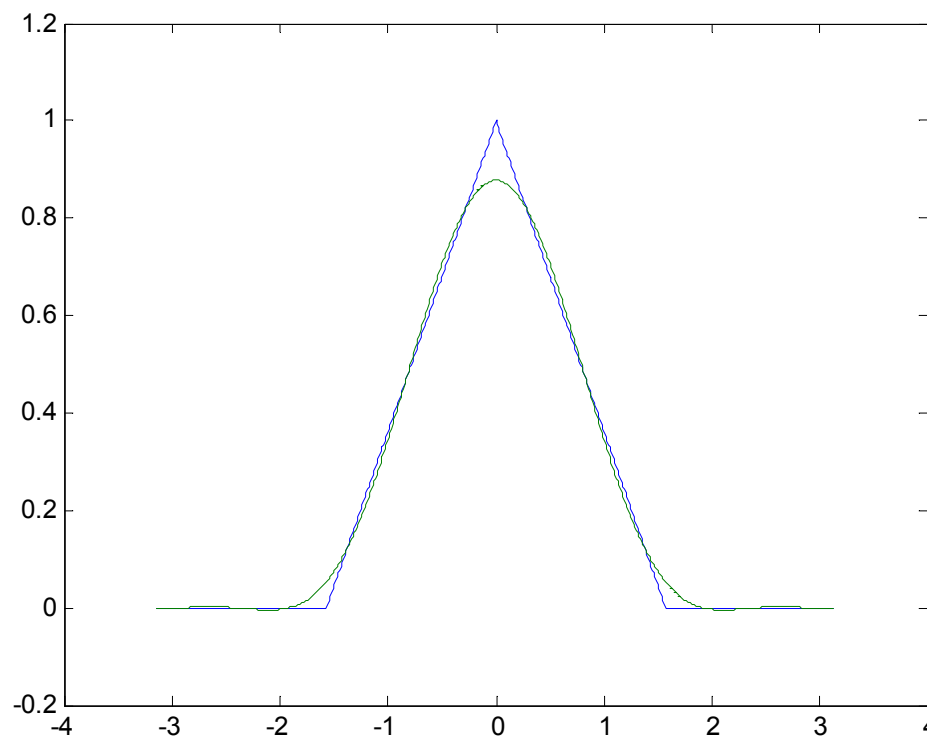


Koeficijenti
 $a[m]$:
0.2500
0.4053
0.2027
0.0450
0.0000

- $N=8$, $m=2$, $W(e^{j\omega})=1$, Eulerova aproksimacija integrala u 512 točaka.

$$\underline{E} = \int_{-\pi}^{\pi} E(e^{j\omega}) d\omega$$

Rješenje 2



Koeficijenti

$a[m]$:

0.2490

0.3989

0.1926

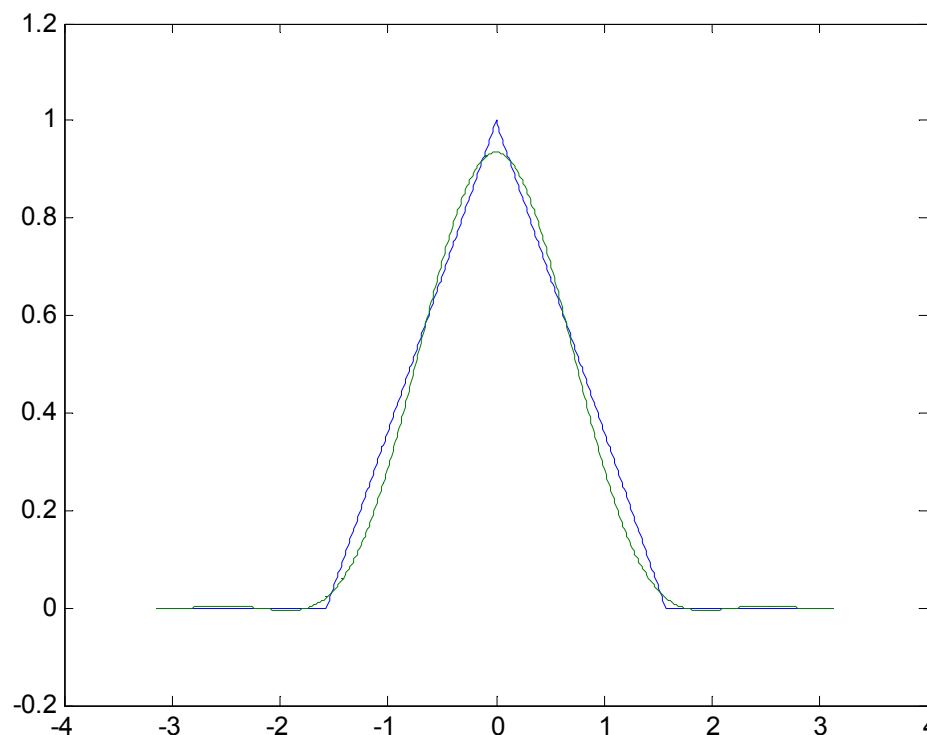
0.0406

-0.0033

- $N=8$, $m=1$, $W(e^{j\omega})=1$, Eulerova aproksimacija integrala u 512 točaka.

$$\underline{E} = \int_{-\pi}^{\pi} E(e^{j\omega}) d\omega$$

Rješenje 3



Koeficijenti

$a[m]$:

0.2388

0.3983

0.2226

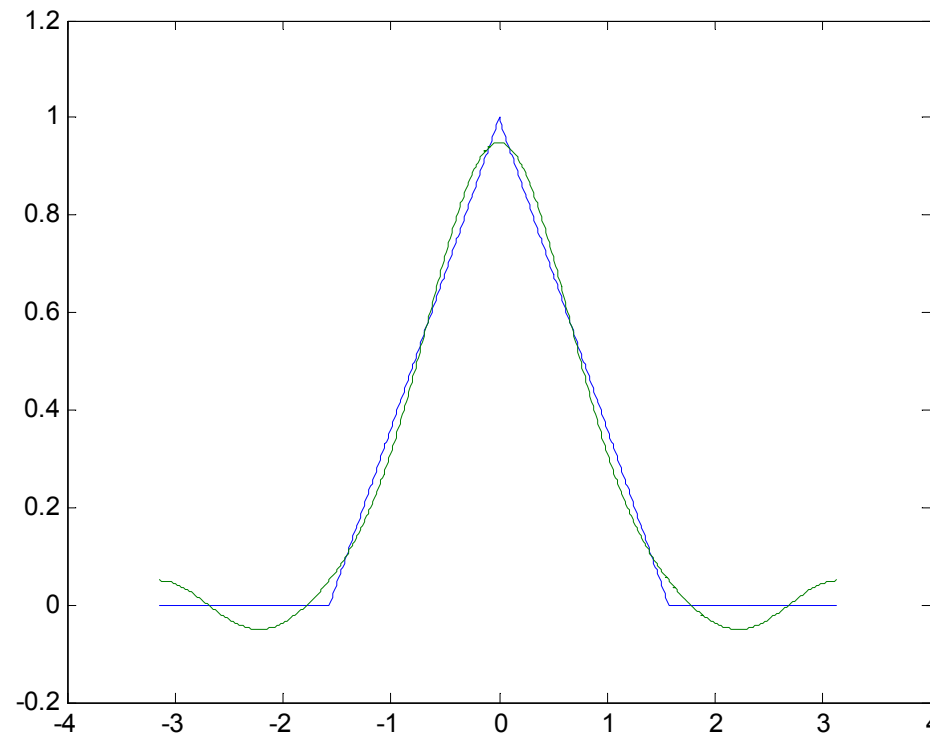
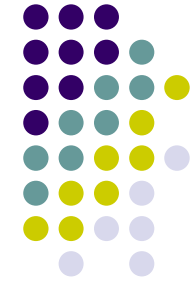
0.0709

0.0049

- $N=8$, $m=2$, Euler 512,
- $W(e^{j\omega}) = 100$ u području gušenja, 1 inače

$$\underline{E} = \int_{-\pi}^{\pi} E(e^{j\omega}) d\omega$$

Rješenje 4



Koeficijenti

$a[m]$:

0.2456

0.4097

0.2248

0.0403

0.0294

- $N=8, m=2,$
- $W(e^{j\omega}) = 1$

$$\underline{E} = \max_{\omega \in [-\pi, \pi]} E(e^{j\omega})$$



Optimizacijske metode

- Za zadani N optimizacijom dobivamo koeficijente $a[m]$, $m = 0, 1, \dots, N/2$; te na kraju da bi dobili kauzalan sustav dodamo kašnjenje za $N/2$ (odnosno linearni fazni član $e^{-jN\omega/2}$).
- Ako nas rješenje ne zadovoljava, povećamo N , promijenimo optimizacijski kriterij, ili podesimo težinsku funkciju.
- Nakon više iteracija, dolazimo do prihvatljivog rješenja.



Optimizacijske metode

- Samo neki kriteriji i parametri optimizacije vode na numerički efikasne metode.
- Općenito imamo složen numerički postupak, bez jamstva da je rješenje ujedno i globalni minimum.
- Drugačiji početni uvjet često daje drugačije rješenje (tj. dobivamo neki lokalni minimum), pa je uvijek potrebno isprobati nekoliko varijanti.
- Postoji čitav niz dobrih optimizacijskih algoritama i odgovarajućih programskih paketa.



Projekcijska metoda

- Vrlo jednostavan pristup dizajnu jest projekcijska metoda.
- Funkcije $\cos(\omega \cdot m)$ su na promatranom intervalu $-\pi$ do π ortogonalne, tj. vrijedi:

$$\int_{-\pi}^{\pi} \cos \omega m \cdot \cos \omega n \, d\omega = \begin{cases} \pi & m = n \\ 0 & m \neq n \end{cases}$$

Stoga možemo željenu AF karakteristiku neovisno “projicirati” na pojedine $\cos(\omega \cdot m)$.



Projekcijska metoda

- Koristimo dobro poznati izraz za izračunavanje kosinusnih koeficijenata Fourierovog reda a_m :

$$a[m] = a_m = \frac{1}{\pi} \int_{-\pi}^{\pi} A_d(e^{j\omega}) \cdot \cos \omega m d\omega$$

- odnosno

koeficijenti Fourierovog reda

$$a[0] = \frac{a_0}{2} = \frac{1}{2\pi} \int_{-\pi}^{\pi} A_d(e^{j\omega}) d\omega$$



Projekcijska metoda

- Za odabrani N izračunamo sve projekcijske koeficijente $a[m]$, $m = 0, 1, \dots, N/2$, te na kraju dodamo linearni fazni član $e^{-jN\omega/2}$.
- Kako je A_d za realne sustave parna, možemo integrirati samo po pozitivnim frekvencijama:

$$a[m] = \frac{2}{\pi} \int_0^{\pi} A_d(e^{j\omega}) \cdot \cos \omega m d\omega$$

$$a[0] = \frac{1}{\pi} \int_0^{\pi} A_d(e^{j\omega}) d\omega$$

Općenito bi projekcijsku metodu zapisali ovako:



- Neka je $\{f_m\}$ sustav ortonormalnih funkcija na nekom intervalu I , tj.

$$\langle f_m, f_n \rangle_I = \delta_{m,n} \quad \langle f_m, f_n \rangle_I = \int_{t \in I} f_m(t) f_n^*(t) dt \quad \delta_{m,n} = \begin{cases} 1 & m = n \\ 0 & m \neq n \end{cases}$$

skalarni produkt

- Onda projekcijski koeficijenti $\{a_m\}$ daju opis

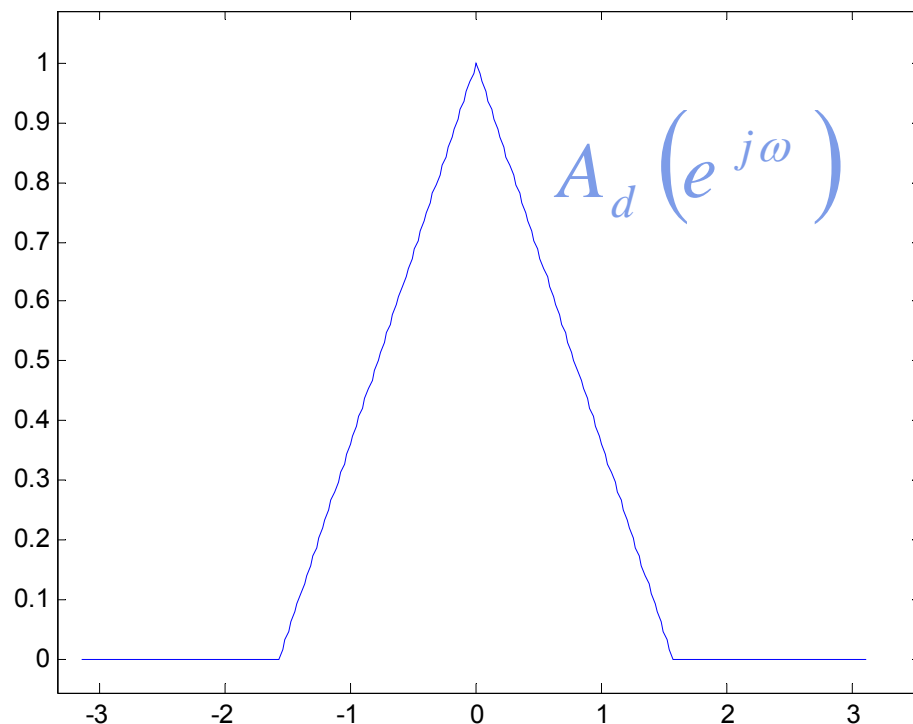
$$\hat{x} = \sum_m a_m f_m \quad a_m = \langle x, f_m \rangle_I$$

- u prostoru $\{f_m\}$, uz najmanju kvadratnu pogrešku:

$$\|\hat{x} - x\|_I^2 \quad \|y\|_I^2 = \langle y, y \rangle_I = \int_{t \in I} |y(t)|^2 dt$$

kvadratna norma

Primjer



$$A(e^{j\omega}) = \sum_{m=0}^{N/2} a[m] \cdot \cos \omega m \quad a[0] = \frac{1}{\pi} \int_0^{\pi} A_d(e^{j\omega}) d\omega$$
$$a[m] = \frac{2}{\pi} \int_0^{\pi} A_d(e^{j\omega}) \cdot \cos \omega m d\omega$$



Primjer

$$\begin{aligned} a[m] &= \frac{2}{\pi} \int_0^{\pi/2} \left(1 - \frac{\omega}{\pi/2} \right) \cdot \cos \omega m \, d\omega \\ &= \frac{4}{\pi^2 m^2} \left(1 - \cos \frac{m\pi}{2} \right) \quad m \neq 0 \end{aligned}$$

$$a[0] = \frac{1}{\pi} \int_0^{\pi/2} \left(1 - \frac{\omega}{\pi/2} \right) d\omega = \frac{1}{4}$$

- $a[0]=1/4$, $a[1]=4/\pi^2$, $a[2]=2/\pi^2$, $a[3]=4/(9\pi^2)$, $a[4]=0$.



Primjer

- $a[0]=1/4$, $a[1]=4/\pi^2$, $a[2]=2/\pi^2$,
 $a[3]=4/(9\pi^2)$, $a[4]=0$.
- Rezultati se poklapaju s onim dobivenim
optimizacijom (primjer 1: $m=2$, $W(e^{j\omega})=1$).
- Konačno, impulsni odziv filtra je:

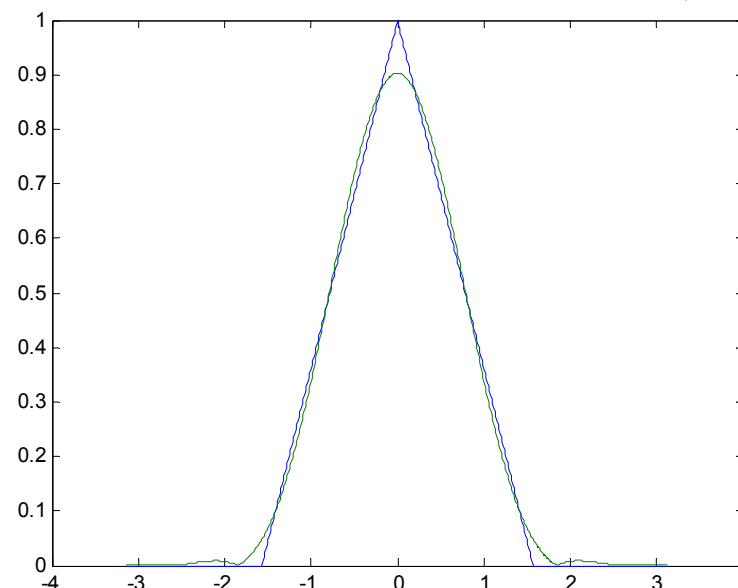
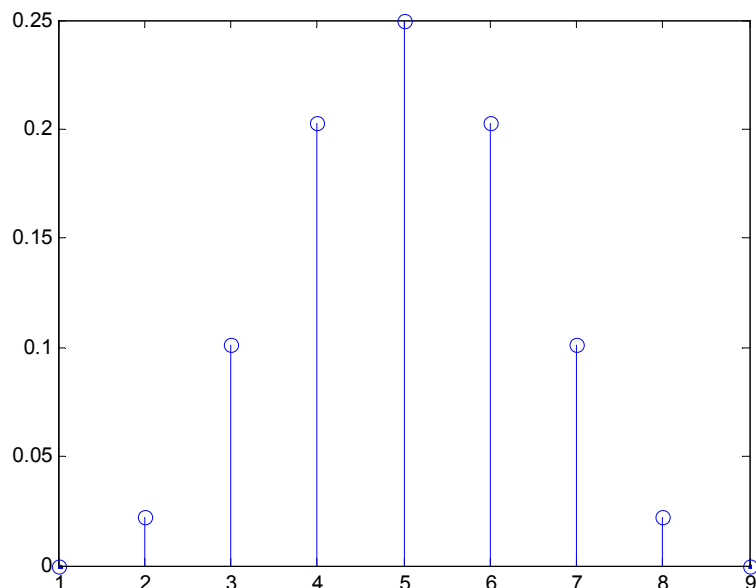
0.2500
0.4053
0.2027
0.0450
0.0000

$$h\left[\frac{N}{2}\right] = a[0], \quad h\left[\frac{N}{2} - m\right] = \frac{1}{2} a[m], \quad 1 \leq m \leq \frac{N}{2}$$

$$h[N] = h[0], \quad h[N-1] = h[1], \dots, \quad h\left[\frac{N}{2} + 1\right] = h\left[\frac{N}{2} - 1\right].$$



Primjer: rezultat



- Lijevo: impulsni odziv.
- Desno: modul dobivene AFK (zeleno) i željena AFK (plavo).



Obradili smo teme

- Periodična i cirkularna konvolucija
- Brza konvolucija
- Projektiranje i primjena filtara u frekvencijskoj domeni
- Projektiranje FIR filtara
 - metoda vremenskih otvora
 - optimizacija
 - projekcijska metoda